

**Прогноз погоды и атмосферные фронты. Нижний Новгород. Декабрь 2012.**  
Ф.Л.Быков, В.А.Гордин. Гидрометцентр РФ, Высшая школа экономики. Москва

Измерение температуры началось, видимо, с **Г.Галилея** (1564-1642). Он изобрел термоскоп в 1592г. Впрочем, измерения количества осадков производилось еще в Храме в Иерусалаиме. По количеству осадков весной делался прогноз урожая летом. После термоскопа появился барометр. **Р.Гук** (1635-1703) измерял скорость и направление ветра. **И.Ньютон** (1643-1727) предложил простейшие модели для описания стационарного течения жидкости в трубе. Система квазилинейных уравнений в частных производных, описывающих течение **вязкой несжимаемой жидкости** в объеме  $\vec{x} \in V$  была предложена **Л.М.А.Навье** (1785-1836) и **Дж.Г.Стоксом** (1819-1903):

$$\partial_t \vec{u} + (\vec{u} \nabla) \vec{u} + \rho^{-1} \nabla p = \nu \Delta \vec{u},$$

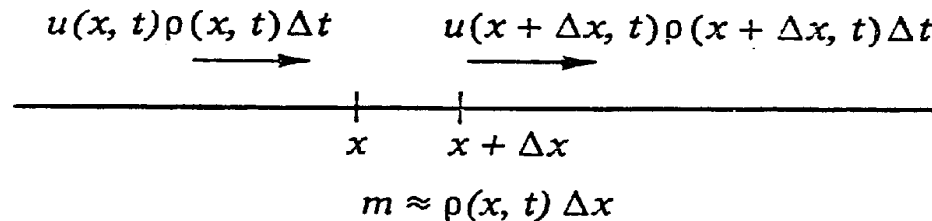
$$\operatorname{div} \vec{u} = 0.$$

$\vec{u} = \vec{u}(t, \vec{x})$  - скорость,  $p$  – давление,  $\rho$  - плотность,  $\nu$  - молекулярная вязкость.

Первые уравнения – следствие закона сохранения вещества и второго закона Ньютона. Последнее уравнение – следствие закона сохранения вещества и несжимаемости ( $\rho = \text{const}$ ). :Жидкость называется **идеальной**, если  $\nu = 0$ . Для **идеальной жидкости** уравнения написаны Л.Эйлером (1707-1783) в 1757г.

# Уравнение неразрывности

Сплошная среда (одномерная) с плотностью  $\rho(x, t)$  движется с известной скоростью  $u(x, t)$ . Что происходит на отрезке  $[x, x + \Delta x]$  за время  $[t, t + \Delta t]$ ?



За это время изменение массы на отрезке примерно равно  $\partial_t \rho(x, t) \Delta x \Delta t$

Выток примерно равен  $u(x + \Delta x, t)\rho(x + \Delta x, t)\Delta t$       ВТОК:       $u(x, t)\rho(x, t)\Delta t$

Поделим на  $\Delta x \Delta t$  и перейдем к пределам  $\Delta x \rightarrow 0, \Delta t \rightarrow 0$ . Результат:

**Уравнение неразрывности**  $\frac{\partial \rho}{\partial t} = -\frac{\partial(\rho u)}{\partial x}$  **с источником:**  $\frac{\partial \rho}{\partial t} = -\frac{\partial(\rho u)}{\partial x} + f(x, t)$

Вариант 3-D (трехмерный ветер  $\langle u, v, w \rangle$ ):

$$\frac{\partial \rho}{\partial t} + \frac{\partial(\rho u)}{\partial x} + \frac{\partial(\rho v)}{\partial y} + \frac{\partial(\rho w)}{\partial z} = 0$$

## Уравнение диффузии (теплопроводности)

Пусть поток через границу пропорционален градиенту плотности ([закон Фика](#))

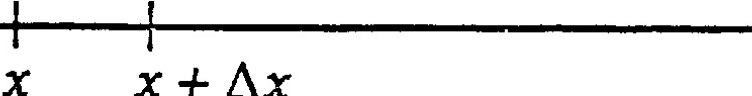
За время  $\Delta t$  изменение

массы на отрезке  $\Delta x$

примерно равно  $\partial_t \rho(x, t) \Delta x \Delta t$

Выток примерно равен

$$D \partial_x \rho(x + \Delta x, t) \Delta t$$



$$m \approx \rho(x, t) \Delta x$$

вток:  $D \partial_x \rho(x, t) \Delta t$   $D$  – коэффициент диффузии. Изменение массы на отрезке

равно разности вытока и втока:  $\partial_t \rho = \partial_x [D \partial_x \rho]$ .

В многомерном случае (параллелепипед вместо отрезка):

$$\partial_t \rho = \partial_x [D \partial_x \rho] + \partial_y [D \partial_y \rho] + \partial_z [D \partial_z \rho] \equiv \operatorname{div} [D \operatorname{grad} \rho].$$

Если коэффициент диффузии постоянен, его можно вынести из-под знака диверг.

$\partial_t \rho = \Delta \rho$ .      Здесь Дельта – оператор Лапласа, а не приращение.

В атмосфере присутствует и перенос, и диффузия. Поэтому используется

уравнение 
$$\frac{\partial \rho}{\partial t} + \frac{\partial(\rho u)}{\partial x} + \frac{\partial(\rho v)}{\partial y} + \frac{\partial(\rho w)}{\partial z} = D \cdot \Delta \rho$$

## Уравнение диффузии (теплопроводности)-2

Поток тепла через границу пропорционален градиенту температуры ([закон Фурье](#))

$D$  – коэффициент температуропроводности. При наличии источника тепла

$$\frac{\partial T}{\partial t} = D \cdot \Delta T + Q(\vec{x}). \quad (1)$$

Если процесс происходит не во всем пространстве, а в ограниченной области  $V$ , на границе нужно поставить [границы \(краевые\) условия](#). Например, если на границе нулевая температура – [условие Дирихле](#):  $\forall t T(t, \vec{x})|_{\vec{x} \in \partial V} = 0$ .

Если поток тепла через границу отсутствует (теплоизоляция), то – [условие Неймана](#)  $\forall t \partial_{\vec{n}} T(t, \vec{x})|_{\vec{x} \in \partial V} = 0$ , где оператор  $\partial_{\vec{n}}$  – производная по направлению нормали к границе области  $V$ .

Уравнение (1) в частных производных можно рассматривать как обыкновенное линейное неоднородное уравнение первого порядка, но фазовое пространство составляют функции от  $\vec{x} \in V$ , удовлетворяющие граничному условию.

Если оператор  $A = D\Delta$  имеет спектр с отрицательной вещественной частью, то при  $t \rightarrow +\infty$  решение стремится к решению стационарного уравнения

$$D \cdot \Delta T = -Q(\vec{x}).$$

## Перенос с постоянной скоростью

Перенос субстанции со скоростью  $c=\text{const}$  описывается уравнением в частных производных первого порядка и по времени, и по пространству:  $\partial_t \rho + c \partial_x \rho = 0; \quad x \in \mathbb{R}, t \in \mathbb{R}_+$ . (1)

Общее решение (1) можно угадать:  $\rho = f(x - ct)$ ,  $f$  – произвольная функция.

Или можно переписать (1) в виде  $d_t \rho = A \rho$ ,  $A = -c \partial_x$ .  $\rho(t, x) = e^{At} \rho_0(x)$ .

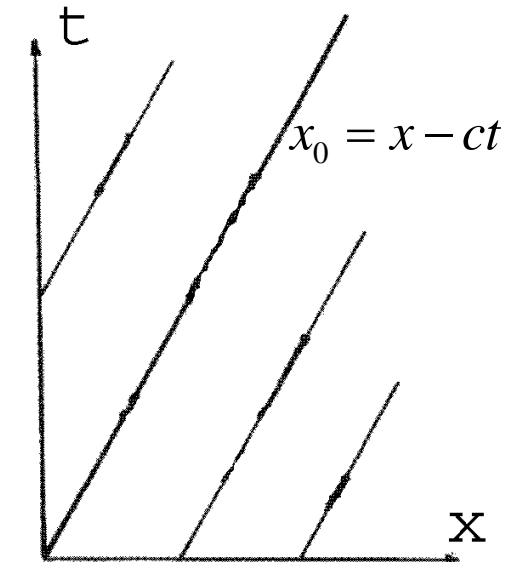
Или преобраз. Фурье. Можно сделать замену переменных:  $u = x + ct$ ,  $v = x - ct$ .

Тогда (1) переписывается в виде  $\partial_u \rho = 0 \Rightarrow \rho = \rho(v)$ .

Показаны **характеристики** – линии постоянства функции  $\rho$

Вопросы:

1. Что будет, если начальные данные не при  $t=0$ ?
2. Если начальная функция задана рядом Тейлора?
3. Если область по  $x$  ограничена (краевые условия)?
4. Если число  $c$  – комплексное?
5. Если  $c$  – функция  $t, x, \rho$ ?
6. Если ненулевая правая часть?
7. Если  $\vec{x}$ ?
8. Если одна или обе производные не первого порядка?
9. Система уравнений.
10. Как нарастают ошибки в исходных данных?



## Перенос с постоянной скоростью-2

1. Что будет, если начальные данные не при  $t=0$ ?

Задача Коши может быть поставлена не только при  $t=\text{const}$ , но и на других кривых. Задача будет иметь решение (и притом, единственное), если и только если для каждого  $v$  будет задано значение  $\rho$ . Кривая должна пересекать каждую характеристику по одному разу.  $\partial_u \rho = 0 \Rightarrow \rho = \rho(v)$ .

В частности, если данные заданы на границе квадранта  $x>0, t>0$  при  $c>0$ , условие выполнено.

Будет ли решение в этом случае непрерывно?

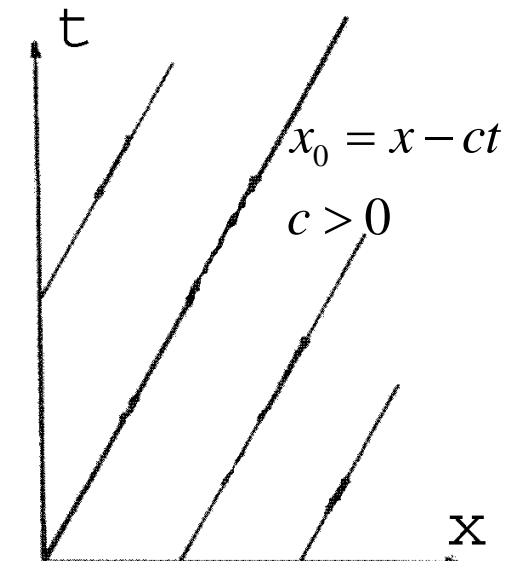
Задано:  $\rho_0(x)$ ,  $\rho_1(t)$ . Нужно:  $\rho_0(0) = \rho_1(0)$ .

Будет ли решение в этом случае дифференцируемо?

$\partial_t \rho(0,0) = \rho'_1(0)$ ;  $\partial_x \rho(0,0) = \rho'_0(0) \Rightarrow \rho'_1(0) + c\rho'_0(0) = 0$ .

Аналогично получаются условия 2-гладкости и т. д.

Если квадрант  $x<0, t>0$ , то граничное условие  $\rho_1(t)$  задавать не нужно, только  $\rho_0(x)$ ,  $x < 0$ .



При  $c<0$  ситуация обратная. Вывод: количество граничных условий может зависеть от коэффициентов уравнения, а не только от его типа.

## Многомерное уравнение в частных производных 1-го порядка

Для уравнения с большим числом пространственных переменных

$$\alpha(x, y, z)\partial_x\rho + \beta(x, y, z)\partial_y\rho + \gamma(x, y, z)\partial_z\rho = \delta; \quad x \in \mathbb{R}, y \in \mathbb{R}, z \in \mathbb{R}, \quad \alpha^2 + \beta^2 + \gamma^2 > 0 \quad (1)$$

получаем систему уравнений для характеристик:

$$d_t x = \alpha(x, y, z), \quad d_t y = \beta(x, y, z), \quad d_t z = \gamma(x, y, z) \quad (2)$$

и уравнение для изменения  $\rho$  вдоль произвольной характеристики

$$d_t \rho = \delta(x(t), y(t), z(t)). \quad (3)$$

Если одно из переменных – время, т. е.

$$\partial_t \rho + \alpha(t, x, y)\partial_x \rho + \beta(t, x, y)\partial_y \rho = \delta; \quad x \in \mathbb{R}, y \in \mathbb{R}, \quad (1a)$$

то уравнения для характеристик  $d_t x = \alpha(t, x, y), \quad d_t y = \beta(t, x, y)$   $(2a)$

# Полулинейное уравнение в частных производных 1-го порядка

Возможна ситуация, когда время явно не выделено:

$$\alpha(x, y)\partial_x\rho + \beta(x, y)\partial_y\rho = \gamma(x, y, \rho); \quad x \in \mathbb{R}, y \in \mathbb{R}, \quad \alpha^2 + \beta^2 > 0. \quad (1)$$

Уравнение (1) линейно  $\Leftrightarrow$  правая часть уравнения  $\gamma$  линейна по  $\rho$

В общем случае такое уравнение называется полулинейным.

Будем искать кривую  $\langle x(t), y(t) \rangle$  вдоль которой решение меняется «просто»

Всегда  $d_t\rho = \partial_x\rho d_t x + \partial_y\rho d_t y$

Следовательно, если мы положим  $d_t x = \alpha(x, y)$ ,  $d_t y = \beta(x, y)$  (2) то вдоль кривой получим обыкновенное (!) уравнение для  $\rho$ :  $d_t\rho = \gamma(x(t), y(t), \rho)$ . (3)

Траектории системы (2) называются характеристиками урчп (1).

На каждой характеристике неизвестную функцию  $\rho$  нужно задать один раз.

Если мы задаем начальные данные для урчп (1) на какой-то кривой  $S$ , то важно, чтобы характеристики (2) ее не касались, а только пересекали.

Тогда в окрестности кривой  $S$  решение (1) будет определено однозначно.

Если вместо (1) уравнение в пространстве  $\mathbb{R}^n$ ,  $n > 2$ , то начальные данные задаем на поверхности  $S$ ,  $\dim S = n-1$ . Поверхность  $S$  «хорошая» - нехарактеристическая, если векторное поле правых частей (2) нигде не касается  $S$ . Решения (2) и (3) существуют только в малом по  $t$  - нелинейны

Вернемся к уравнению  $\partial_\tau \rho + c \partial_x \rho = 0; \quad x \in \mathbb{R}, \tau \in \mathbb{R}_+$ . (1)

Здесь уравнения характеристики:  $d_\tau t = 1, \quad d_\tau x = c(\tau, x)$ .

Прямая  $t=0$  нехарактеристическая. Можно положить  $\tau = t$ .

Что делать, если  $c$  – функция от трех переменных:  $t, x, \rho$  ?

Уравнение (1) называется **линейным**, если  $c$  не зависит от  $\rho$ , и **квазилинейным** – в противоположном случае. Из теоремы о неявной функции следует, что неизвестная функция  $\rho(t, x)$  постоянна на кривых, удовлетворяющих уравнению

$$d_t x = -\partial_t \rho / \partial_x \rho = c(t, x, \rho).$$

Вместе с уравнением  $d_t \rho = 0$  получаем систему из двух обыкновенных дифференциальных уравнений.

Решение этой системы зависит от параметра  $x_0$ :  $x(0) = x_0, \rho(0) = \rho_0(x_0)$ .

Второе уравнение системы при фиксированном  $x_0$  легко решается:  $\rho = \text{const.}$

Затем решаем первое уравнение и находим характеристику, исходящую при  $t=0$  из точки  $x_0$ .

После того как определены все **характеристики**, нужно по известной функции  $x = x(t, x_0)$  найти  $x_0 = x_0(t, x)$ , а это не так и просто. И не всегда возможно. При малых  $t$  возможно, т. к. производная  $\partial_{x_0} x \approx 1 \neq 0$ .

Но, если смогли выразить, то решение (1) найти легко:  $\rho(t, x) = \rho_0(x_0(t, x))$ .

Если уравнение (1) линейное, то и первое уравнение системы ОДУ  $d_t x = c(t, x, \rho)$ ,  $d_t \rho = 0$

не зависит от второго, и может решаться независимо. Характеристики  $x(t)$  с различными начальными условиями не пересекаются. Следовательно, можно определить обратную функцию  $x_0 = x_0(t, x)$ .

Если же уравнение (1) лишь квазилинейное, то характеристики могут пересечься, и теорема существования решения уравнения (1) с гладким начальным условием верна только при  $t < t_*$ . Потом решение (во всяком случае гладкое) уже не существует. Пример – [уравнение Эйлера – Хопфа](#):  $u_t + uu_x = 0$ .

Уравнение описывает динамику бесстолкновительной среды;  $u$  – скорость. В начальный момент времени скорость в каждой точке прямой определена однозначно и гладко зависит от координаты  $x$ . Будет ли это выполняться в дальнейшем? Оказывается, что не всегда.

# Разрыв в уравнении Эйлера - Хопфа

Уравнение Эйлера – Хопфа:  $u_t + uu_x = 0$ .

Уравнения характеристик:  $d_t x = u$ ,  $d_t u = 0 \Rightarrow u(t) = u_0(x_0)$ ,  $x(t) = x_0 + u_0(x_0)t$ .

Пример 1:  $u_0(x) = \exp(x) \Rightarrow x(t) = x_0 + t \exp(x_0)$

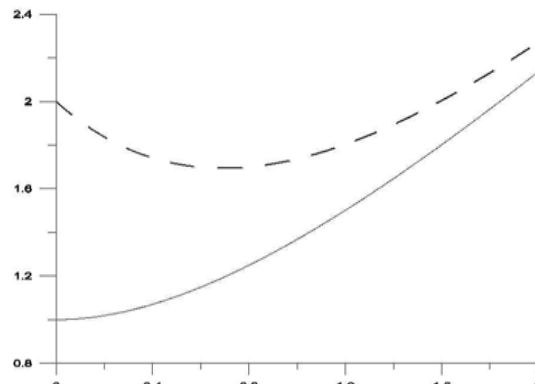
Зависимость  $x(x_0)$  монотонная при всех  $t > 0$ .

Значит существует обратная функция при  $t > 0$ .

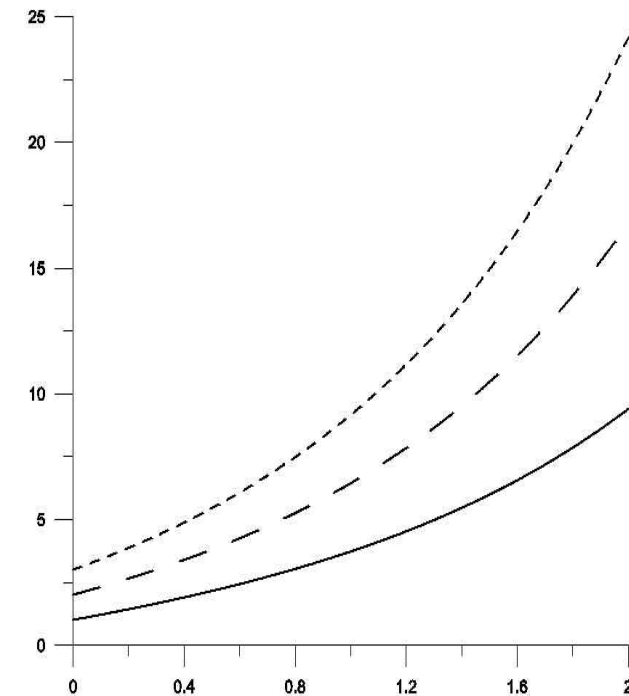
Поэтому формула  $u(t, x) = u_0(x_0)$  законна.

Пример 2:  $u_0(x) = \exp(-x) \Rightarrow x(t) = x_0 + t \exp(-x_0)$

$x_0 + t \exp(-x_0)$ ,  $t=1,2$



$x_0 + t \exp(x_0)$ ,  $t=1,2,3$



Условие монотонности:  $1 + tu'_0(x) > 0$ . Если  $u'_0 > 0$ , то монотонно при всех  $t > 0$ .

Иначе  $t_* = \inf_{x_0} \left\{ \left[ -u'_0(x_0) \right]^{-1} \right\}$ .

## Квазилинейное уравнение и первый интеграл

Квазилинейное уравнение  $u_t + c(u)u_x = 0$  сводится к ур. Эйлера–Хопфа:

$$c_t = \frac{dc}{du}u_t = -\frac{dc}{du}c(u)u_x = -cc_x.$$

Начальная функция  $c_0 = c(u_0(x))$ . Существует проблема определения  $u(t,x)$  по функции  $c(t,x)$ .

Если уравнение линейно:  $c=c(t,x)$ , то геометрия характеристик не зависит от самого решения  $u$ :  $d_t x = c(t,x)$ . Характеристики могут уходить на  $\infty$ , но не пересекаться.

Первый интеграл уравнения Эйлера–Хопфа:

$$I[u] = \int_{\mathbb{R}} u dx; \quad d_t I = \int_{\mathbb{R}} u_t dx = -\frac{1}{2} \int_{\mathbb{R}} (u^2)_x dx = -\frac{u_{\infty}^2 - u_{-\infty}^2}{2}.$$

Если  $u_{\infty}^2 = u_{-\infty}^2 \Rightarrow d_t I = 0 \sim I = \text{const.}$

## Нелинейный перенос и первые интегралы

Если решение гладкое, список первых интегралов можно продолжить.

Умножим (1) на  $m(u)$ . Пусть решение гладкое и стабилизируется на бесконечности к одинаковому (или периодику). Положим:

$$g(u) = \int m(u)du, \quad f(u) = -\int m(u)c(u)du, \quad I_g[u] = \int_{-\infty}^{\infty} g(u)du \Rightarrow d_t I_g = 0.$$

Если же решение негладкое и разрыв имеет место на гладкой кривой  $X=X(t)$ , то при интегрировании по частям получается дополнительное слагаемое.

Пример. Уравнение Эйлера-Хопфа,  $I[u] = \int u(t, x)dx$ . На краях скачка решение принимает значения  $u_{\pm}$ . Тогда для того чтобы  $I$  сохранялся и на разрывных решениях должно выполняться [условие Гюгонио – Ренкина](#):

$$(u_+ - u_-) \frac{dX}{dt} = \frac{u_+^2}{2} - \frac{u_-^2}{2} \Leftrightarrow \frac{dX}{dt} = (u_+ + u_-)/2.$$

Если же потребовать сохранения  $I_{u^2}[u] = \int u^2(t, x)dx$ , то сначала Э.-Х.  $\rightarrow$   
 $\frac{1}{2}(u^2)_t + \frac{1}{3}(u^3)_x = 0$ ,  $\Rightarrow \frac{1}{2}(u_+^2 - u_-^2) \frac{dX}{dt} = \frac{u_+^3}{3} - \frac{u_-^3}{3} \Leftrightarrow \frac{dX}{dt} = \frac{2}{3} \frac{u_+^2 + u_-^2 + u_+ u_-}{u_+ + u_-}$ .

При уменьшении амплитуды скачка  $|u| \rightarrow 0$  Г.-Р. сводится к ур. характерист.

## Условия Гюгонио-Рэнкина

Квазилинейное уравнение  $\partial_t u + \partial_x f(u) = 0$       Если решение  $u$  гладкое, то для всех гладких функций  $\varphi(t, x)$  выполняется равенство:

$$\iint \varphi(t, x) [\partial_t u + \partial_x f(u)] dt dx = 0 \Rightarrow \iint u \partial_t \varphi(t, x) + \partial_x \varphi f(u) dt dx.$$

Но если  $u$  имеет разрывы? Если для всех финитных гладких  $\varphi$  выполняется условие (1), то  $u$  называется **обобщенным решением**.

Если обобщенное решение имеет скачок на кривой  $\gamma$ , то для любой фигуры с кусочно-гладкой границей, в частности, с  $\Gamma$ , интеграл равен нулю:

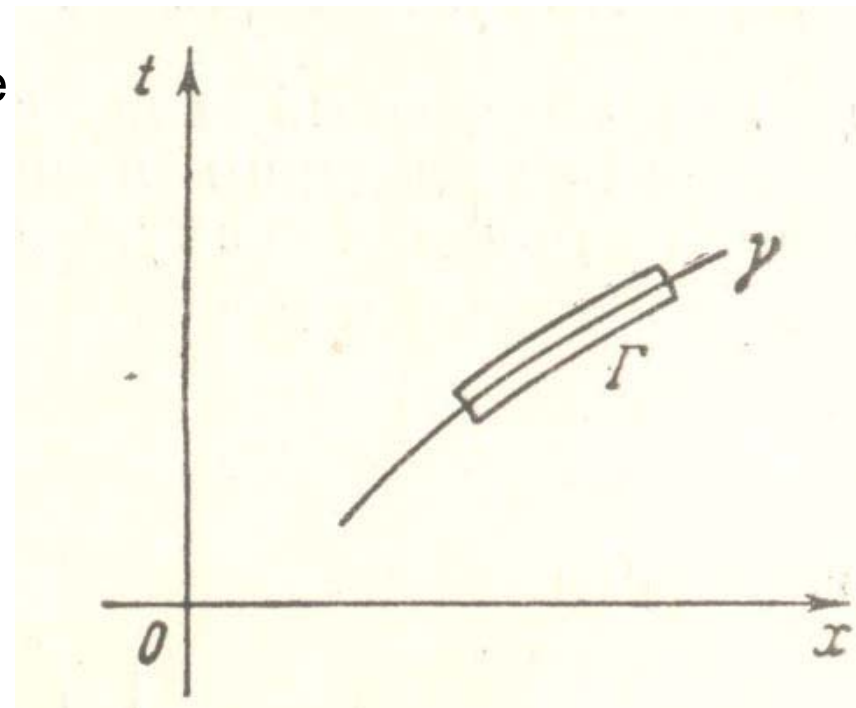
$$\iint [\partial_t u + \partial_x f(u)] dt dx = 0 \Rightarrow \oint u dx - f dt = 0$$

Выбирая полоску маленькой и тонкой, учтем, что вдоль кривой подинтегральное выражение нулевое. Отлично от нуля, когда поперек. Оценим интеграл:

$$\oint_{\Gamma} = (u^+ \omega - f^+) \Delta t - (u^- \omega - f^-) \Delta t + o(\Delta t);$$

где  $\omega$  - тангенс угла наклона кривой  $\gamma$  и, переходя к пределу при  $\Delta t \rightarrow +0$ ,

$$\omega (u^+ - u^-) = f(u^+) - f(u^-).$$



## Система квазилинейных гиперболических уравнений

Система уравнений в частных производных  $\partial_t \vec{U} = A(t, x, \vec{U}) \partial_x \vec{U} + \vec{F}(t, x, \vec{U})$ . (1) (квазилинейная) называется гиперболической, если собственные числа матрицы  $A$  вещественны и различны. Тогда существует матрица  $C(t, x, \vec{U})$  такая что

$$A(t, x, \vec{U}) = C(t, x, \vec{U}) \Lambda(t, x, \vec{U}) C^{-1}(t, x, \vec{U}), \quad \Lambda = \text{diag}\{\lambda_j\}_{j=1}^N, \quad \lambda_j \in \mathbb{R}.$$

Рассмотрим случай линейной системы с постоянными коэффициентами.

Сделаем замену  $\vec{U} = C\vec{V}$ ,  $\vec{V} = B\vec{U}$ ;  $B = C^{-1}$ .

Тогда (1) переходит в систему  $\partial_t \vec{V} = \Lambda \partial_x \vec{V} + \vec{G}$ .

Волновое уравнение  $\partial_t^2 u = c^2(x) \partial_x^2 u$  можно записать в виде гиперболической системы  $\partial_t u = c \partial_x q$ ,  $\partial_t q = c \partial_x u$ .

Задача Коши: при  $t=0$  задана вектор-функция  $\vec{U}(0, x)$ .

Краевая задача при  $x > 0$ : нужно задать столько граничных условий, сколько отрицательных  $\lambda_j$ , но вид этих граничных условий не произволен.

Газ – сжимаемая среда. Плотность  $\rho$  - одна из неизвестных функций. 5 неизвестных функций – нужно еще одно уравнение. **Баланс энергии**. Если нет притоков и стоков тепла (адиабатическое приближение ( $Q=0$ ) – закон сохранения энергии

$$\partial_t \rho + \operatorname{div} \rho \vec{u} = 0$$

$$\partial_t \vec{u} + (\vec{u} \nabla \vec{u}) + \rho^{-1} \nabla p = \nu \Delta \vec{u},$$

$$\partial_t p + \kappa p \operatorname{div} \vec{u} = Q.$$

На частицы газа могут действовать внешние силы (например, сила тяжести и перелистывание страниц). При переходе в неинерциальную систему координат возникают фиктивные силы. Для описания динамики атмосферы используют систему, вращающуюся вместе с Землей → нужно учитывать силу **Г.Г. де Кориолиса (1792-1843)**.

Работа Кориолиса была опубликована в 1833г. Впрочем, основные формулы были получены еще П.С. **Лапласом** (1749-1827) в 1775г. Эффект отклонения тел при движении во вращающейся системе координат был описан Дж.Б. **Ричолли** (1598-1671) и Ф.М. **Гримальди** (1618-1663) в 1651г.

В координатном виде над плоской Землей (1-плоскость) уравнения имеют вид:

$$\begin{aligned}
 \partial_t \rho + \operatorname{div}(\rho \vec{v}) &= 0 \\
 \partial_t u + u \partial_x u + v \partial_y u + w \partial_z u + \rho^{-1} \partial_x p - lv - \omega^2 x &= 0 \\
 \partial_t v + u \partial_x v + v \partial_y v + w \partial_z v + \rho^{-1} \partial_y p + lu - \omega^2 y &= 0 \\
 \partial_t w + u \partial_x w + v \partial_y w + w \partial_z w + \rho^{-1} \partial_z p + g &= 0 \\
 \partial_t p + u \partial_x p + v \partial_y p + w \partial_z p + \kappa p \operatorname{div} \vec{v} &= 0
 \end{aligned} \tag{1}$$

Здесь  $g$  – ускорение свободного падения,  $\kappa = 1 + R_{y\odot} / c_V$  – показатель адиабаты, центробежным ускорением (члены с  $\omega$ ) обычно пренебрегают, параметр Кориолиса  $l$  – константа. Более продвинутая модель – линейная зависимость от  $y$ .

Нужно добавить вязкость, радиационные притоки тепла, фазовые переходы (потребуется ввести еще неизвестные функции). Учет сферичности очевиден.

В уравнении  $\varepsilon \left[ \partial_t w + u \partial_x w + v \partial_y w + w \partial_z w \right] + \rho^{-1} \partial_z p + g = 0$ , как показывает масштабный анализ, для крупномасштабных атмосферных процессов можно заменить формальный параметр  $\varepsilon$  нулем. Получаем [уравнение гидростатики](#) (из которого, в свою очередь, следует закон [Архимеда](#), 287-212 до н. э.). Хорошую теорию разложения по малому параметру  $\varepsilon$  пока не построили.

Для «идеальной» системы (1) теорема существования гладкого решения при гладких начальных условиях доказана «в малом», т. е. для достаточно малых  $t$ . Для формальных рядов и для сходящихся рядов (аналитических функций) это следует непосредственно из теоремы О.Л.Коши (1789-1857) – С.В.Ковалевской (1850-1891).

Теорема существования «в большом», т. е. при всех  $t > 0$  для квазилинейных уравнений не верна - легко убедиться на примере уравнения Хопфа  $\partial_t u + u \partial_x u = 0$ , описывающем одномерное движение частиц на прямой без столкновений. Если функция  $u(0, x)$  не является монотонно растущей по  $x$ , то через некоторое время  $t_{catastrophe}$  (которое находится с помощью метода характеристик) гладкое решение становится разрывным. Этому предшествует сильный рост производных. Поэтому феномен называется градиентной катастрофой.

Пока решение системы (1) остается гладким, сохраняются первые интегралы, связанные с сохранением массы, импульса, энергии, энтропии (целая функциональная серия первых интегралов) потенциального вихря Эртеля (появляется уже функция двух переменных в качестве степени свободы) и т. д.

Для вязких систем разрывов, видимо, не возникает. Пример: решения уравнения И.М.Бюргерса (1895 – 1981)  $\partial_t u + u \partial_x u = \mu \partial_{xx}^2 u$  гладкими остаются всегда.

## Регуляризация квазилинейного уравнения

В решении уравнения Эйлера-Хопфа могут возникнуть разрывы. Заменим его [уравнением Бюргерса](#) с малой вязкостью:  $u_t + uu_x = \varepsilon u_{xx}$ ,  $\varepsilon \rightarrow +0$ .

Эта вязкость оказывается существенной только в зонах больших градиентов решения. Она препятствует градиентной катастрофе.

Вопросы. А почему именно такой регуляризатор? Можно, например, использовать третью или четвертую производную. Или взять коэффициент вязкости, зависящий от решения.

# Общая информация об атмосферных фронтах

Для системы уравнений газовой динамики существует ровно два рода разрывных решений:

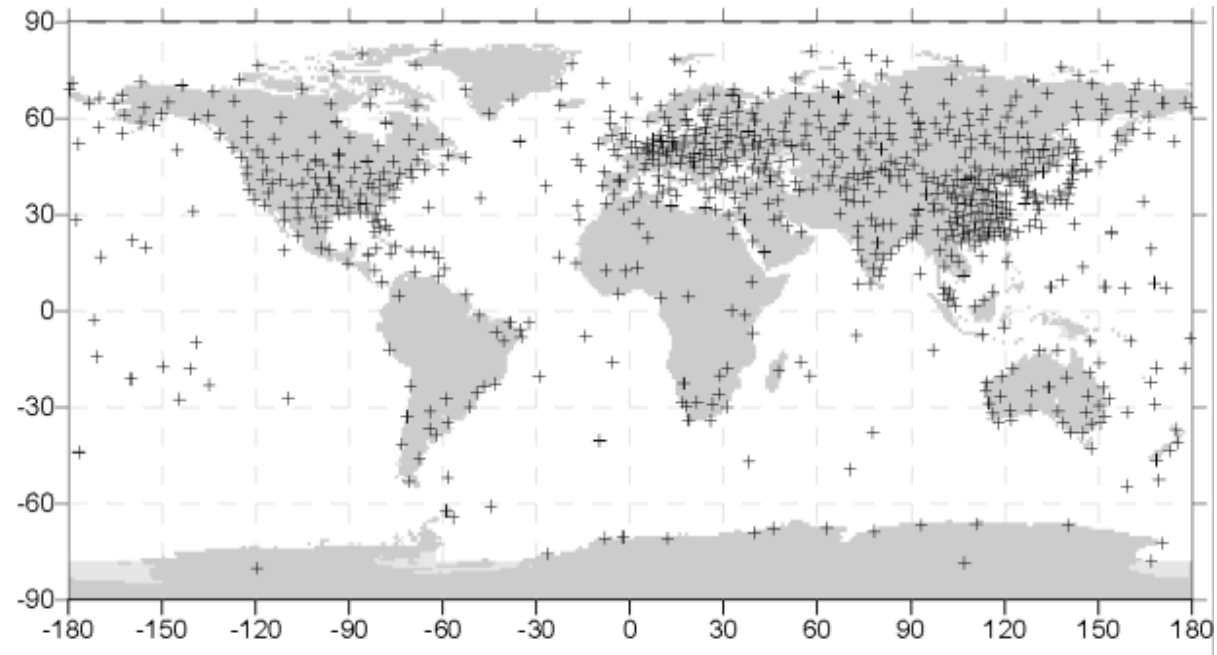
- 1) Ударная волна – скачок давления и нормальной к поверхности разрыва компоненты скорости ветра;
- 2) Тангенциальный разрыв – скачок температуры, плотности и касательной компоненты скорости ветра.

Атмосферный фронт – разрыв второго рода.

Практическая задача: построить (используя значения метеорологических полей на регулярной 3D сетке) 3D поверхности атмосферных фронтов. Метеополя (температура, ветер, геопотенциал) – результат численных моделей прогноза на несколько суток

Важность задачи: атмосферные фронты обычно связаны с заметной переменой погоды. Они часто связаны с осадками.

Трудности: 1) Реальные фронты не являются скачками в математическом смысле. Это зоны, ширина которых варьируется от 1км до многих десятков километров. В то же время типичное расстояние между аэрологическими станциями (которые запускают метеорологические зонды) составляет сотни или тысячи километров.

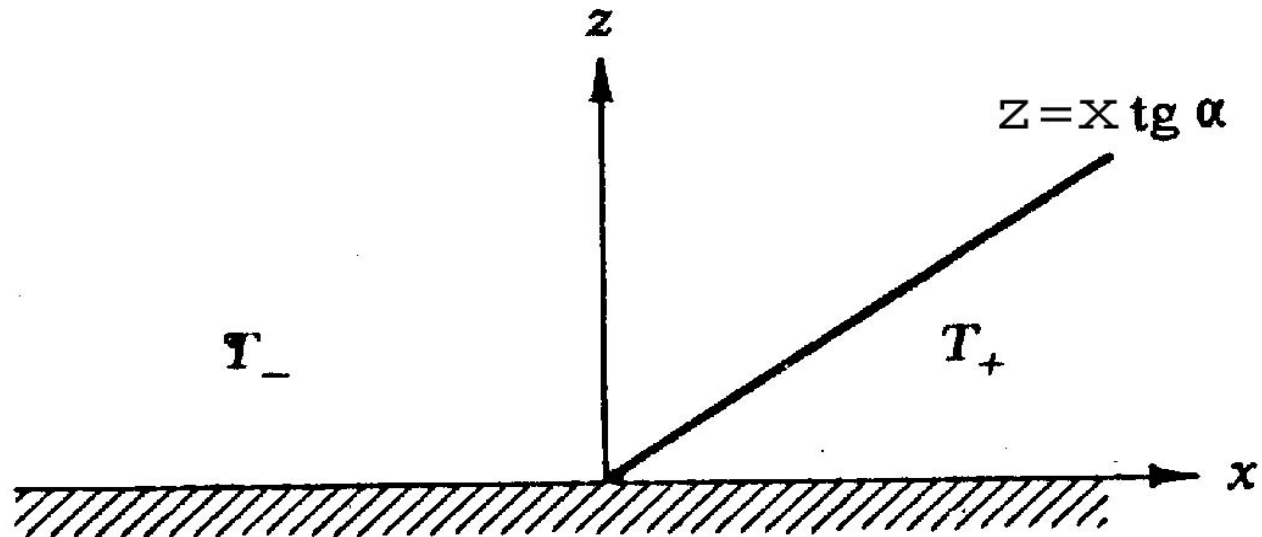


Уточнение: имеются еще синоптические станции, которых почти на порядок больше, но они измеряют только на поверхности земли, и спутники, но у них точность меньше.

2) Поверхность атмосферного фронта имеет сложную геометрию и топологию.

В конце XIX – первой половине XX вв. моделировали, фронт наклонной плоскостью.

Теорема Маргулеса в этом случае давала оценку угла наклона  $\sim 1^\circ$ .

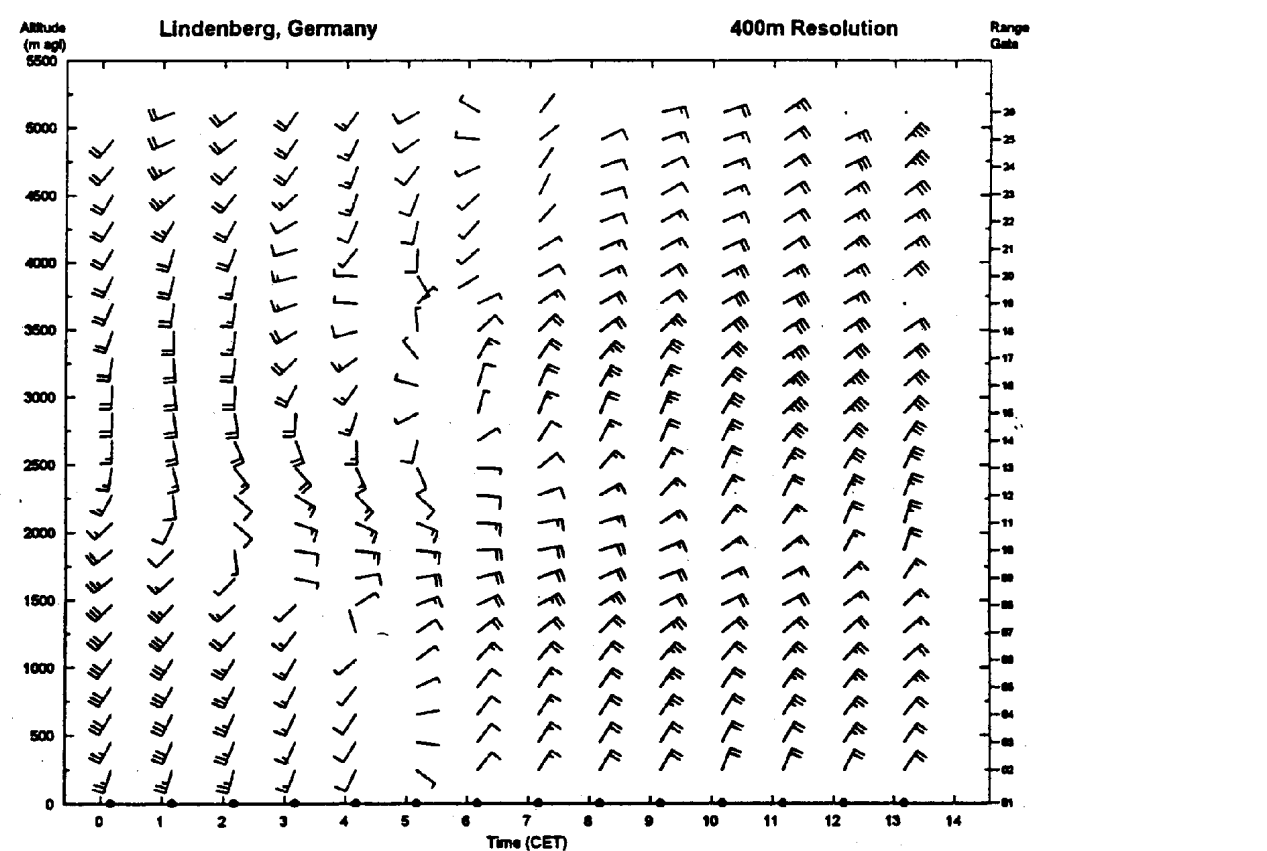


Н.Е.Кочин пытался найти условия устойчивости такой конфигурации теплой и холодной масс воздуха. Реальные же атмосферные фронты не плоскости и не гладкие поверхности. Возможны дыры. Фронт может закончиться, уменьшив свою амплитуду. Иногда не доходит до земли, иногда – до тропопаузы.

3) В этих условиях неясна сама дефиниция атмосферного фронта.

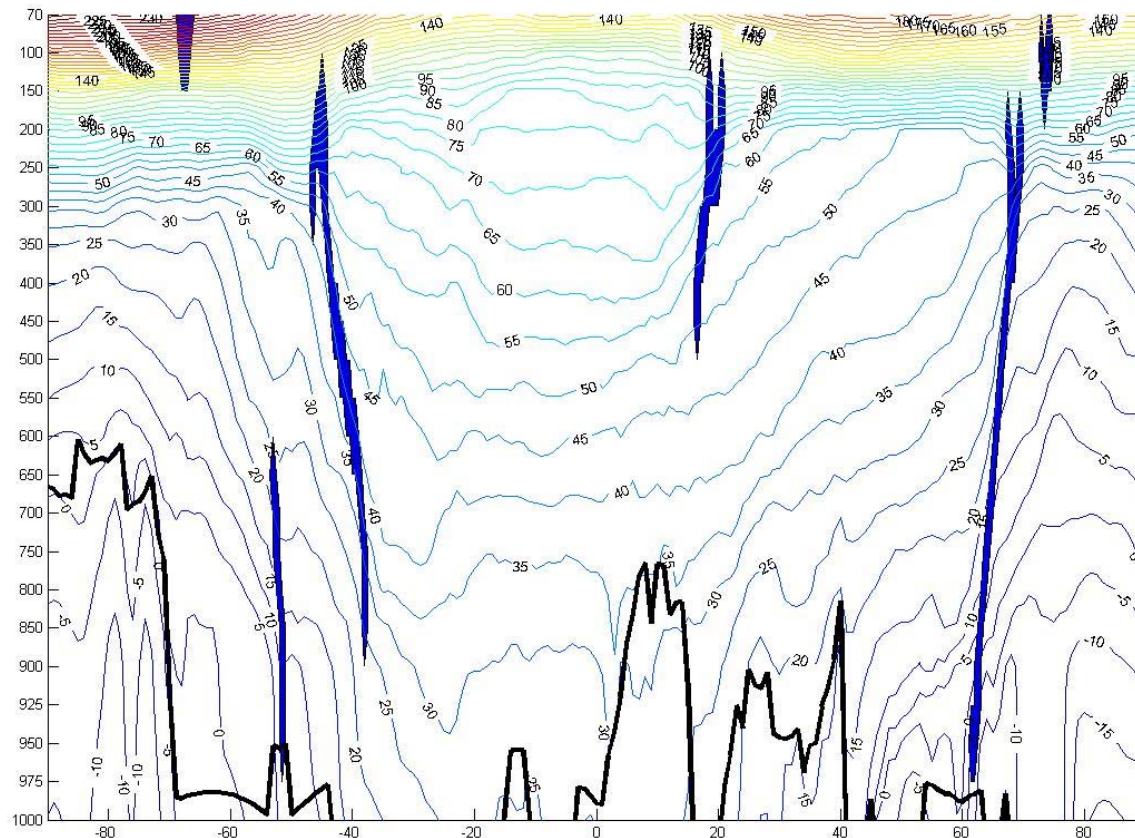
# Пример динамики реального фронта

Поле горизонтального ветра, при прохождении атмосферного фронта, измеренного профайлером (Линденберг, Германия). Высота до 5 км (25 уровней), период – 13 часов (ежечасно) Вначале ветер юго-западный, в конце – северо-восточный. Смена направления на разных уровнях происходит в разное время.



Видно, что речь идет не о плоском движении наклонной плоскости. Природа устроена сложнее!

# Фронты в сечении меридианом $40^{\circ}$ в.д. (пример)



Слева Южный полюс, справа - Северный

## Лапласиан, гессиан и геометрия фронта

Предложение: использовать **фронтальный параметр**, зависящий от предполагаемого направления  $\vec{e}$ , ортогональному фронту

$$L_e(x, y) = \vec{e} \begin{pmatrix} \partial_{xx}^2 H(x, y) & \partial_{xy}^2 H(x, y) \\ \partial_{yx}^2 H(x, y) & \partial_{yy}^2 H(x, y) \end{pmatrix} \vec{e}^T$$

Здесь  $H$  – геопотенциал – высота барической поверхности.

Второй **фронтальный параметр** формируется по полю ветра

$$R_e(x, y) = \vec{e} \begin{pmatrix} \partial_y u(x, y) & \frac{1}{2}(\partial_y v(x, y) - \partial_x u(x, y)) \\ \frac{1}{2}(\partial_y v(x, y) - \partial_x u(x, y)) & -\partial_x v(x, y) \end{pmatrix} \vec{e}^T$$

Третий **фронтальный параметр** – модуль производной температуры по направлению  $\vec{e}$ :

$$G_e(x, y) = |(\nabla T(x, y), \vec{e})|.$$

Какую оптимальную функцию этих трех исходных фронтальных параметров следует выбрать в качестве **финального фронтального параметра?** **Какой критерий качества?**

В качестве входных полей используются поля глобального прогноза NCEP с шагом  $0,5 \times 0,5$  или мезомасштабная модель (покрывает Центральную и Восточную Европу до Урала) “COSMO” (Consortium for Small scale Modeling) с шагом 7 км.

Во всех случаях для аппроксимации производных используются схемы высокого порядка аппроксимации (специальная версия двумерного пр. Фурье для сферы и компактные разностные схемы для ограниченной территории).

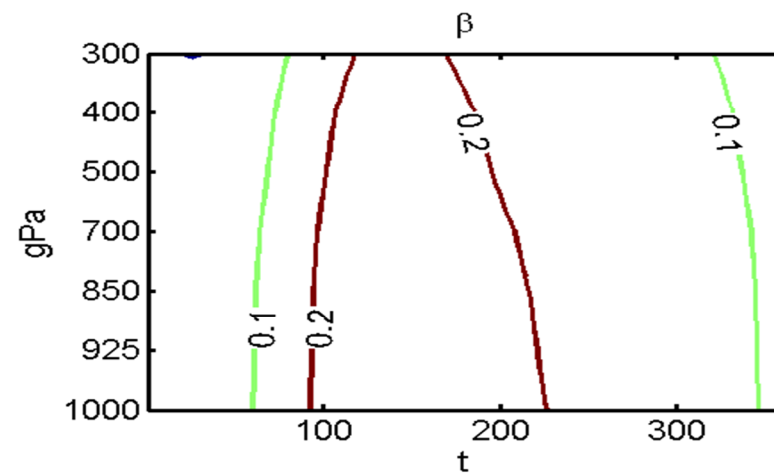
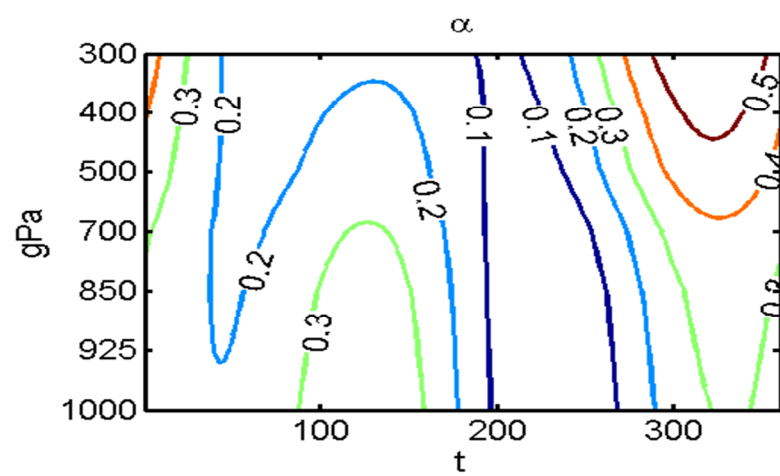
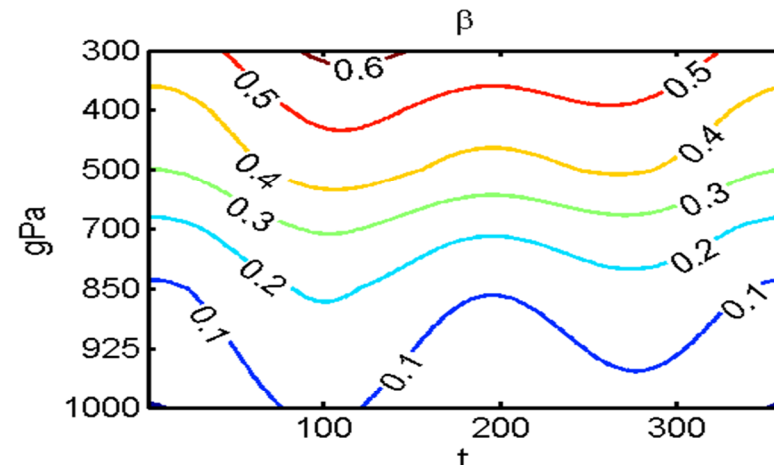
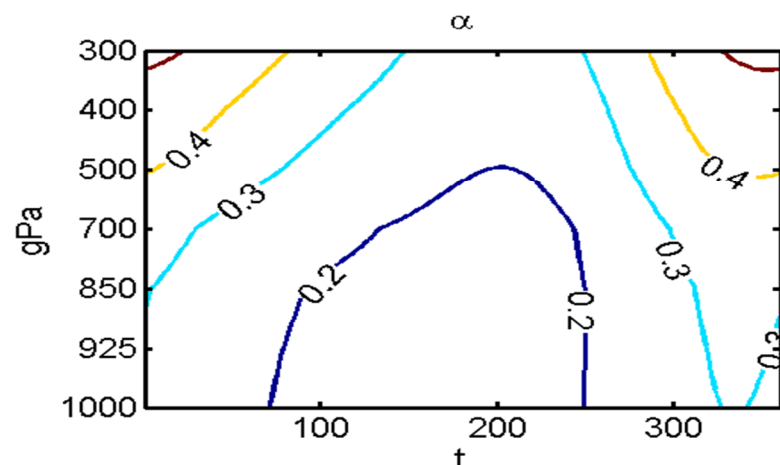
## Алгоритм проведения фронта

Пусть  $\alpha(t, p)$  и  $\beta(t, p)$  - константы, которые мы будем в дальнейшем менять.

**Финальный предиктор** сформируем как

$$P_e = \alpha(t, p) \chi(2\bar{L}_e - 1) + \beta(t, p) \chi(2\bar{R}_e - 1) + (1 - \alpha(t, p) - \beta(t, p)) \bar{G}_e$$

Проводим фронт в таком направлении  $\vec{e}^\perp$ , чтобы для ортогонального ему вектора  $\vec{e}$  достигался локальный максимум  $P_e$ , при условии, что этот локальный максимум больше некоторой константы. В противном случае фронт считаем слишком слабым.



Изолинии оптимальных функций  $\alpha(t, \ln p)$ ,  $\beta(t, \ln p)$ , участвующие в формировании финального предиктора фронта  $P_f$  (первая строка) и для предиктора фронтов окклюзии  $P_o$  (вторая строка).

# Корреляционные функции для атмосферы Земли.

О.А.Алдухов (ВНИИГМИ-МЦД), В.А.Гордин (ГМЦ РФ)

Однородные изотропные случайные поля – естественное обобщение стационарных случайных процессов (А.Колмогоров, А.Хинчин, Н.Винер)

Корреляционные функции (спектральные плотности) мелкомасштабных атмосферных процессов изучались Колмогоровым и его учениками. Для задач прогноза погоды важен крупный масштаб (1000 – 100 км), диктуемый масштабом наблюдательной сети и возможностями компьютеров для решения уравнений гидротермодинамики + фазовые переходы влаги etc.

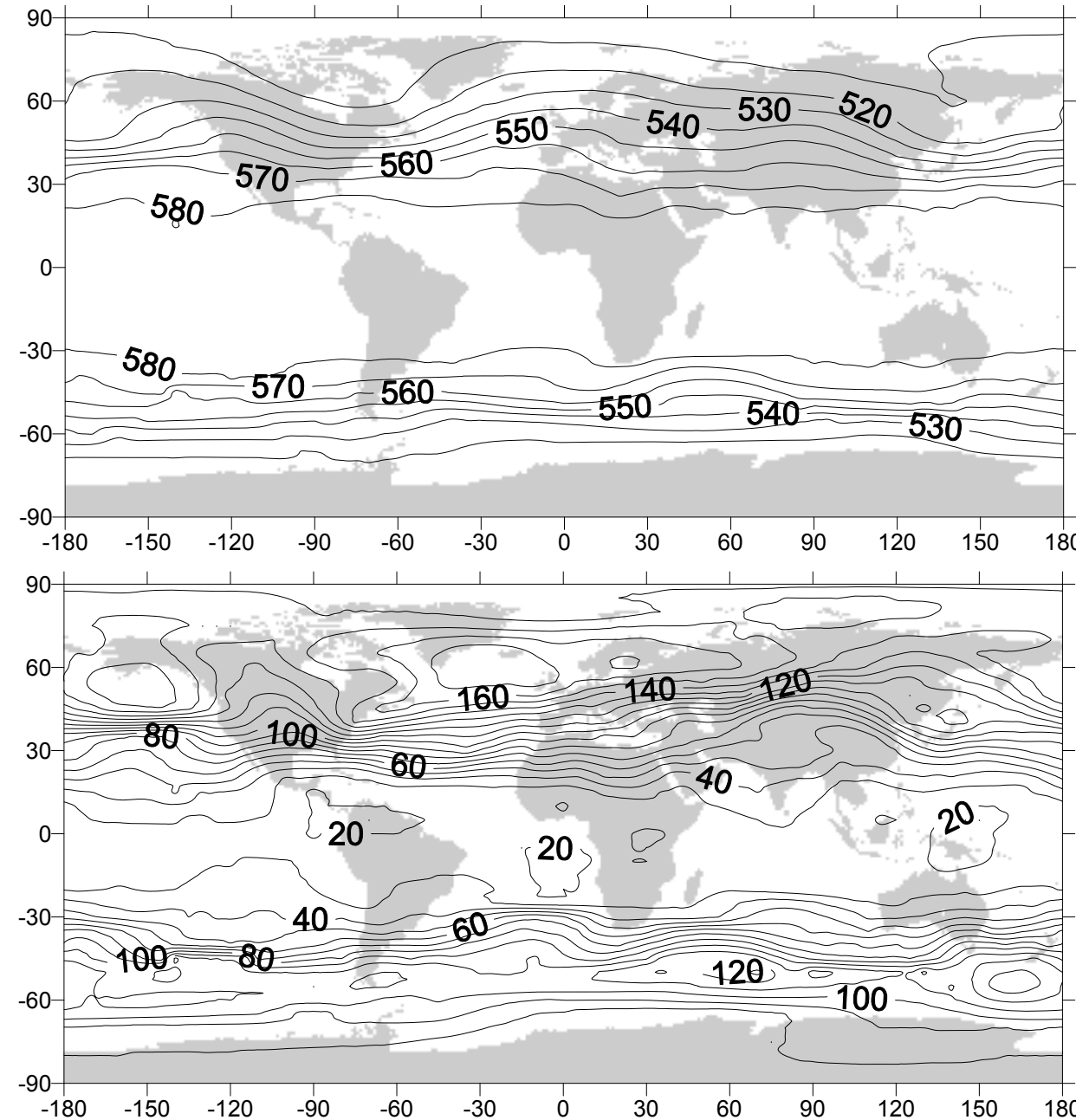
Корреляционные функции применяются:

- 1) для оптимальной интерполяции метеоинформации из точек наблюдения в точки регулярной разностной сетки, а также (для контроля одних наблюдений по другим) в другую точку наблюдения;
- 2) для тестирования моделей: если климатическая модель адекватно моделирует не только поля средних величин, но и поля дисперсии и КФ, то такую модель стоит считать достоверной.

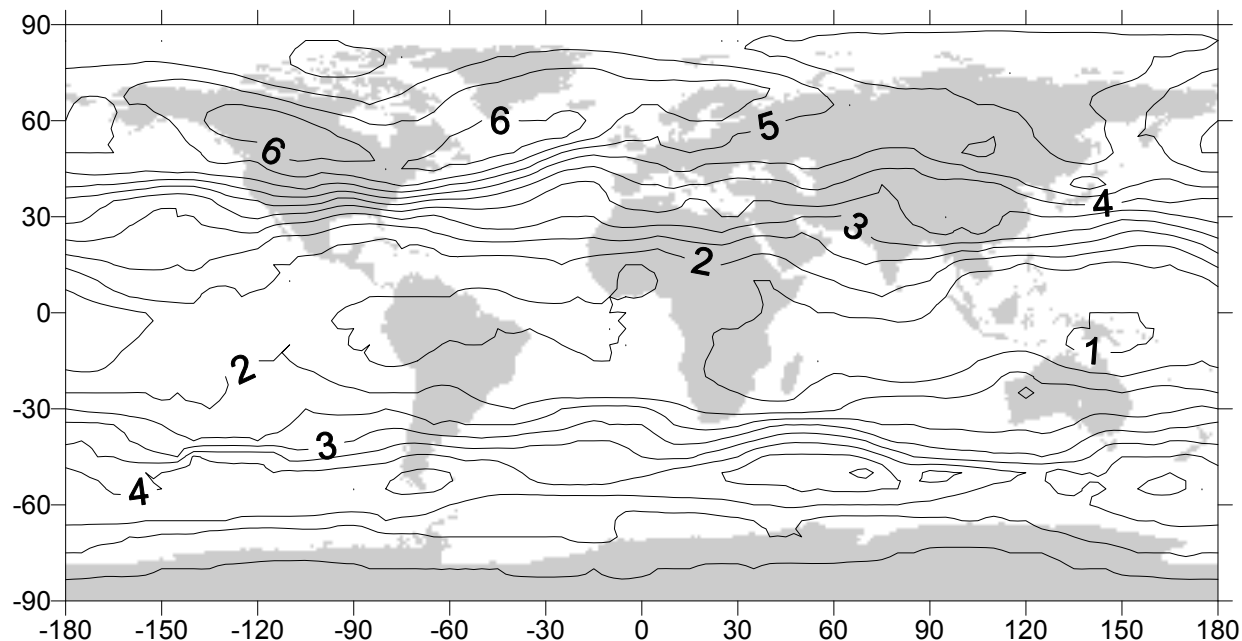
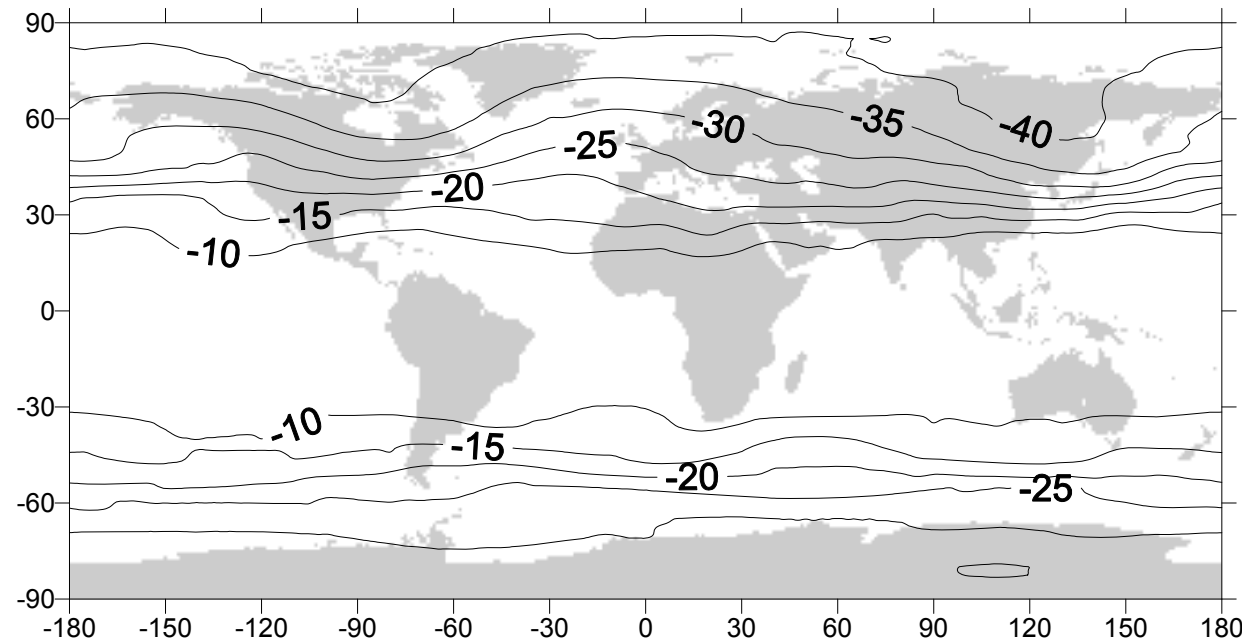
## Климат - основные определения

Пусть  $f(\vec{x})$  - случайное поле трехмерного аргумента. Например, температура или геопотенциал (высота в системе координат, где давление  $p$  – вертикальная координата). Нормируем поле:  $\frac{f(\vec{x}) - \bar{f}(\vec{x})}{\sigma_f(\vec{x})}$ , где черта – осреднение (скажем, по январям за много лет),  $\sigma_f(\vec{x})$  – корень из дисперсии. Эти средние величины на одном вертикальном уровне могут различаться в разы. На следующем слайде пример: средние значения и сигмы для геопотенциала на уровне 500гПа по январям, осредненные за 1964-1998. Данные ВМО подвергались контролю (программное обеспечение разработано О.А.Алдуховым).

# Средние января, геопотенциал. Средние (в дам) и сигмы (в м)



# Средние января, температура. Средние и сигмы (в град)



## Основные определения для КФ

Пусть  $f(\vec{x})$  - нормированное случайное поле трехмерного аргумента. КФ

$$K(\vec{x}, \vec{y}) = M[f(\vec{x}) \cdot f(\vec{y})]$$

Эта функция (уже детерминированная) симметрична и неотрицательно определена, т. е., будучи взята в качестве ядра интегрального оператора Фредгольма, обеспечивает неотрицательную определенность оного. А если выбрать систему точек  $\vec{x}_i$ , то матрица  $\|K(\vec{x}_i, \vec{x}_j)\|$  неотрицательно определена. Спектр этого оператора Фредгольма накапливается к нулю справа. При практической оценке спектр оператора «заходит» в отрицательную область  $\rightarrow$  матрица  $\|K(\vec{x}_i, \vec{x}_j)\|$  плохо обусловлена, и интерполяция приводит к большим погрешностям.

Вариационная задача: дана симметричная матрица «почти положительно определенная». Нужно ее исказить минимально, обеспечивая неравенство  $\forall j: \lambda_j > \varepsilon > 0$ . Задача сильно нелинейная, поскольку характеристические корни – сильно нелинейные функции элементов матрицы. Однако задачу можно сильно упростить, использовав теорию возмущений самосопряженных операторов. Малый параметр – «заступ» собственных чисел за границу  $\varepsilon$ . Алгоритм работает для больших размерностей матриц.

## Основные определения для КФ

$f(\vec{x})$  - нормированное случайное поле называется **однородным**, если

$$\forall \vec{h}: K(\vec{x}, \vec{y}) = K(\vec{x} + \vec{h}, \vec{y} + \vec{h}) \Leftrightarrow K(\vec{x}, \vec{y}) = Q(\vec{x} - \vec{y}).$$

**Изотропным**, если КФ инвариантна относительно поворотов, т.е.

$$\forall U \in O(n): K(\vec{x}, \vec{y}) = K(U\vec{x}, U\vec{y}) \Leftrightarrow K(\vec{x}, \vec{y}) = k(|\vec{x} - \vec{y}|).$$

**Теорема Бонхера.** Для того чтобы функция была корреляционной для какого-то случайного поля необх. и дост., чтобы она была неотрицательно определена (как ядро симметричного интегрального оператора). Для однородного поля это означает, что образ Фурье функции  $Q$  неотрицателен. Для однородного и изотропного: преобразование Фурье – Бесселя для  $k$  – неотрицательно.

В крупномасштабных атмосферных задачах для трехмерной однородности и изотропности нет оснований – только двумерная.

Поля температуры (например) на разных уровнях по вертикали полагаем разными полями. Таким образом, у нас векторное случайное поле двумерного пространственного аргумента: несколько полей (температура, геопотенциал, ветер) и много уровней по вертикали. КФ – матричнозначная. Нужно аппроксимировать КФ функцией  $A_0 \delta(r) + \sum_{j=1}^m A_j J_0(\xi_j r)$ , где все матричные коэффициенты положительно определены.

## Алгоритм оценки КФ

По данным измерений строится ступенчатая по  $r$  матричнозначная функция. Затем она аппроксимируется функцией вида

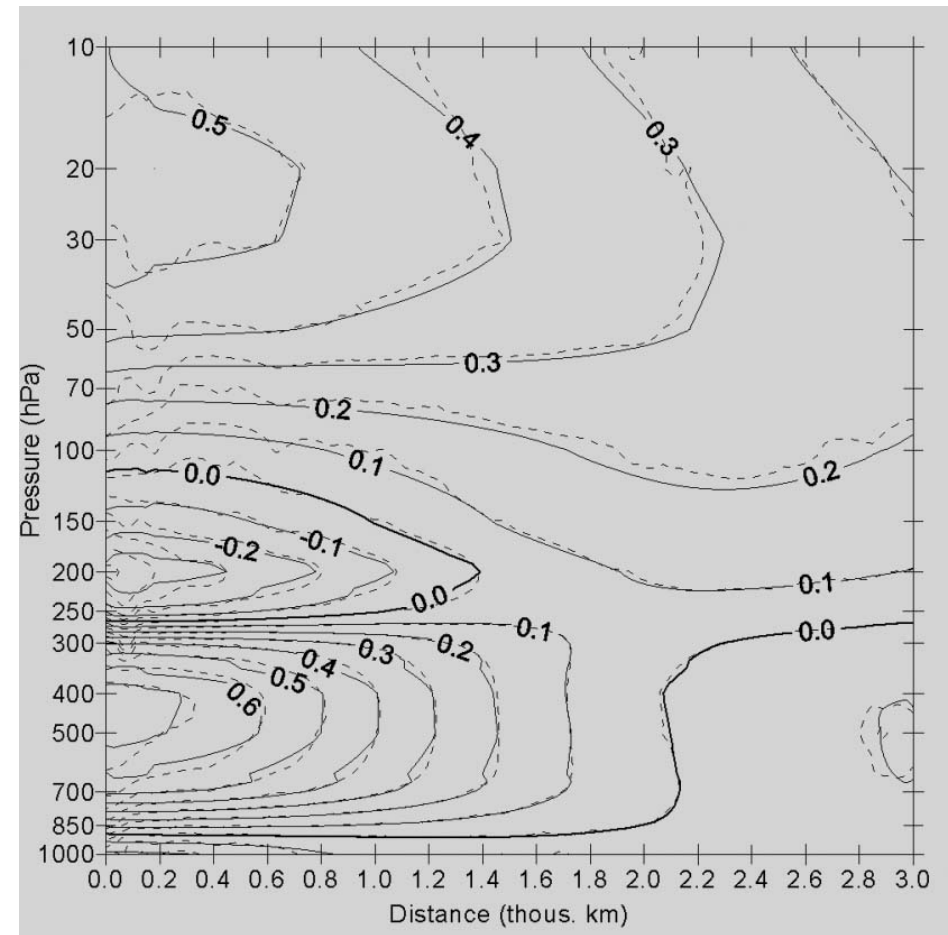
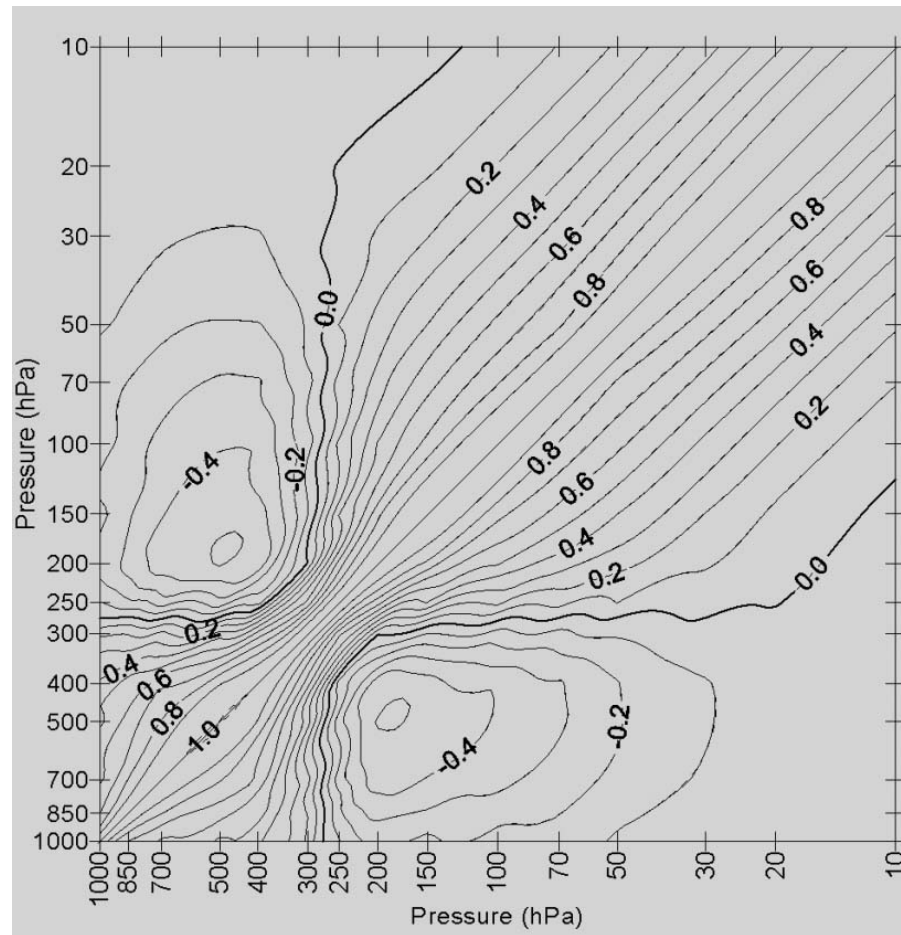
$$A_0\delta(r) + \sum_{j=1}^m A_j J_0(\xi_j r)$$

Затем производится нелинейная оптимизация масштабных множителей  $\xi_j$ . Затем корректируются матрицы  $A_j$  при ограничении: на диагонали результата стоят единицы. Снова масштабные множители – несколько раз. Результаты представляют собой большой массив чисел. Некоторые будут представлены ниже.

### Общие выводы.

1. Никакой автомодельности (типа колмогоровской) не усматривается
2. Господствовавшая гипотеза: чем выше, тем более гладкие и крупномасштабные поля, неверна. В нижней стратосфере КФ больше, но выше, к 10 гПа они снова уменьшаются.
3. Ослабление корреляций наблюдается в районе тропопаузы.
4. Наша вариационная процедура насильтственного обеспечения положительной определенности приводит к повышению гладкости КФ (как и увеличение архива, по которому строится первоначальная КФ).

Результаты: КФ для январей, умеренные широты Сев. полуш.  
 Автокорреляционная функция температуры по вертикали (при  $r=0$ ) и  
 кросскорреляция геопотенциала и температуры (на одинаковом  
 уровне). Пунктир – до принудительного обеспечения положительной  
 определенности, сплошная линия – после.



## Анизотропия

Гипотеза изотропии метеорологических полей была подвергнута проверке.

Оказалось: в некоторых областях атмосферы она сильно нарушается

На первом этапе мы проверяли соотношение между меридиональной и

зональными корреляциями. Получив существенные различия, мы

решили проверить, верно ли что оси соответствующего эллипса

всегда расположены вдоль параллелей и меридианов ? Оказалось,

что и это не верно. Окончательная постановка задачи: найти

**метрический тензор**  $g_{\alpha\beta}(\vartheta, p)dx_\alpha dx_\beta$  , в котором метеорологические

поля наиболее близки к изотропным. На рисунках отрезки, длина

которых указывает на отношение собственных чисел тензора (оно

достигает 15), а ориентация – совпадает с ориентацией собственного вектора, отвечающего более дальней корреляции.

Полученная геометрия, по нашему мнению, объясняется проявлением

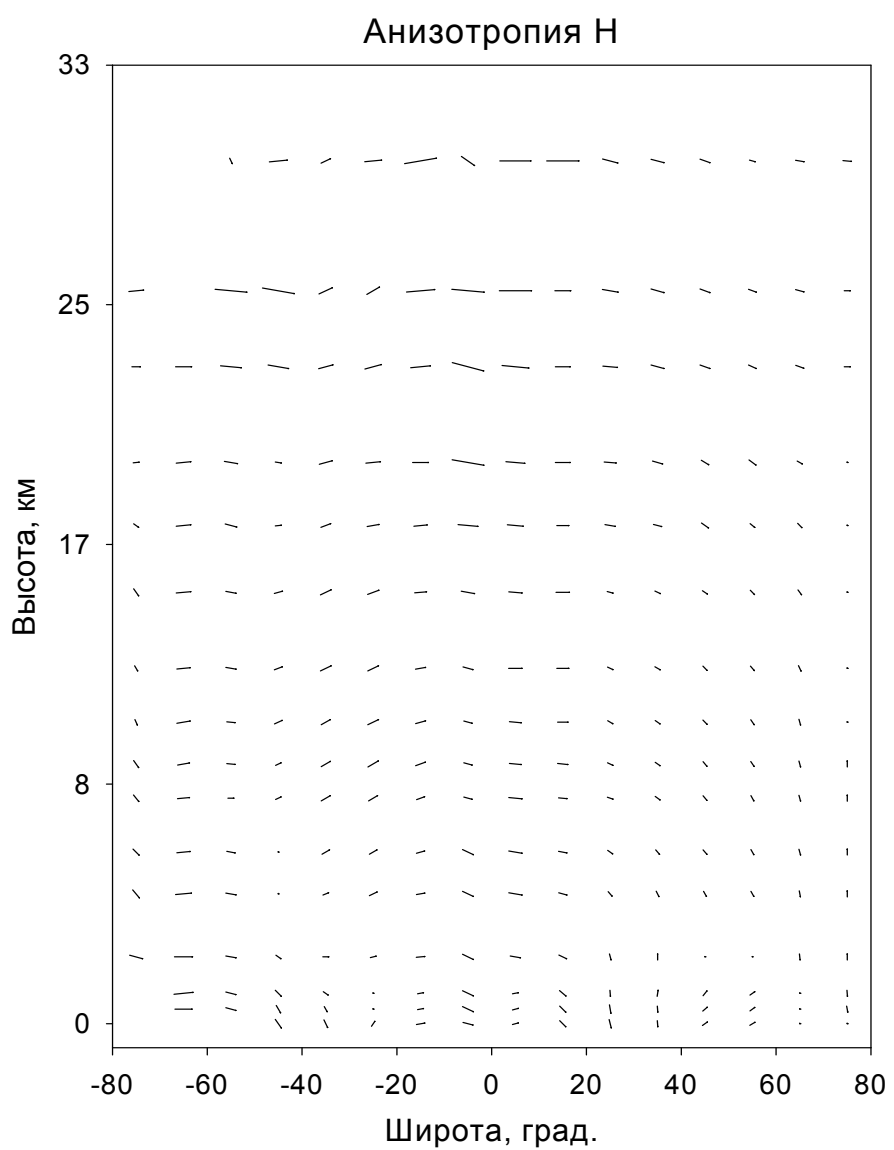
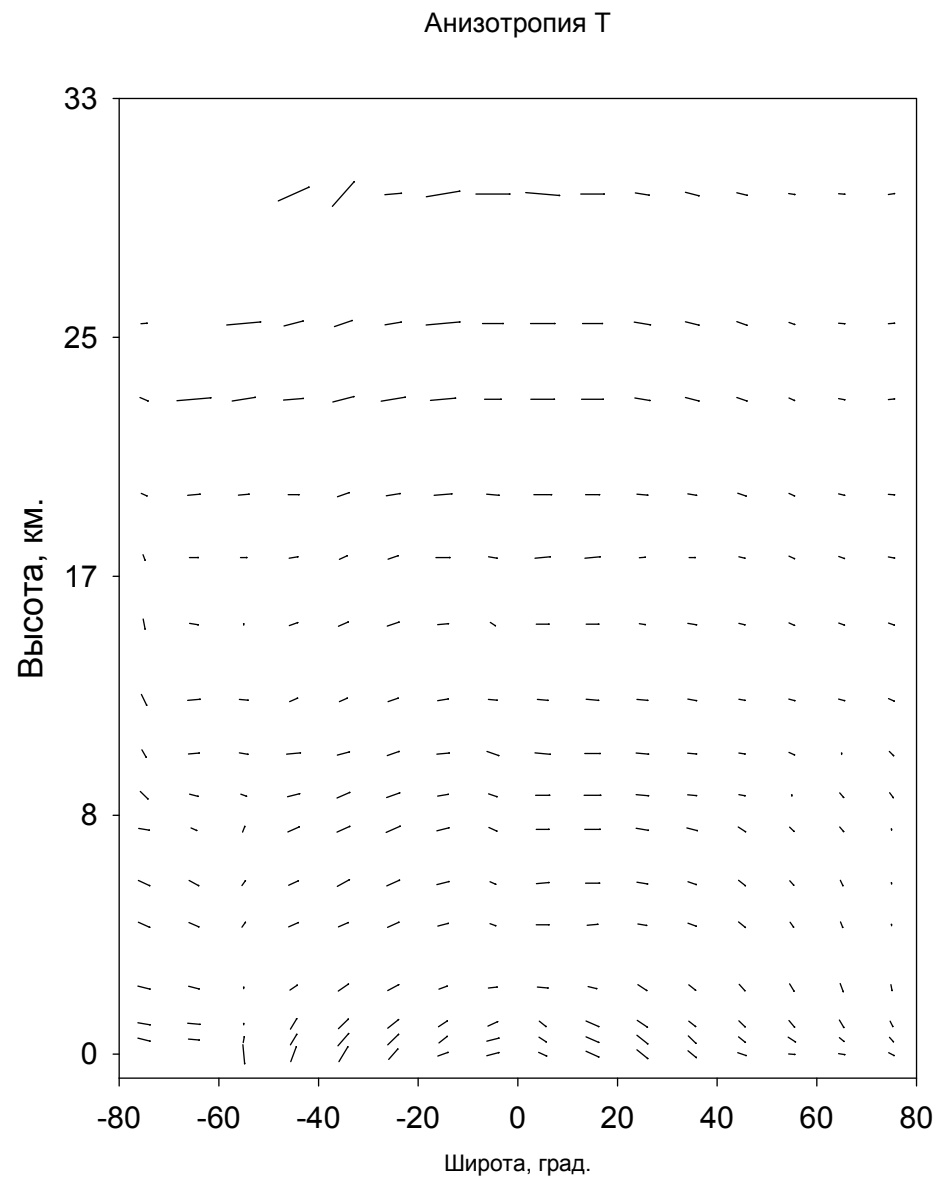
муссонной циркуляции в стратосфере и наличием ячеек Гадлея.

Картинки для зимнего и летнего полушарий оказались довольно

симметричны.

# Результаты: Анизотропия скаляров (январь)

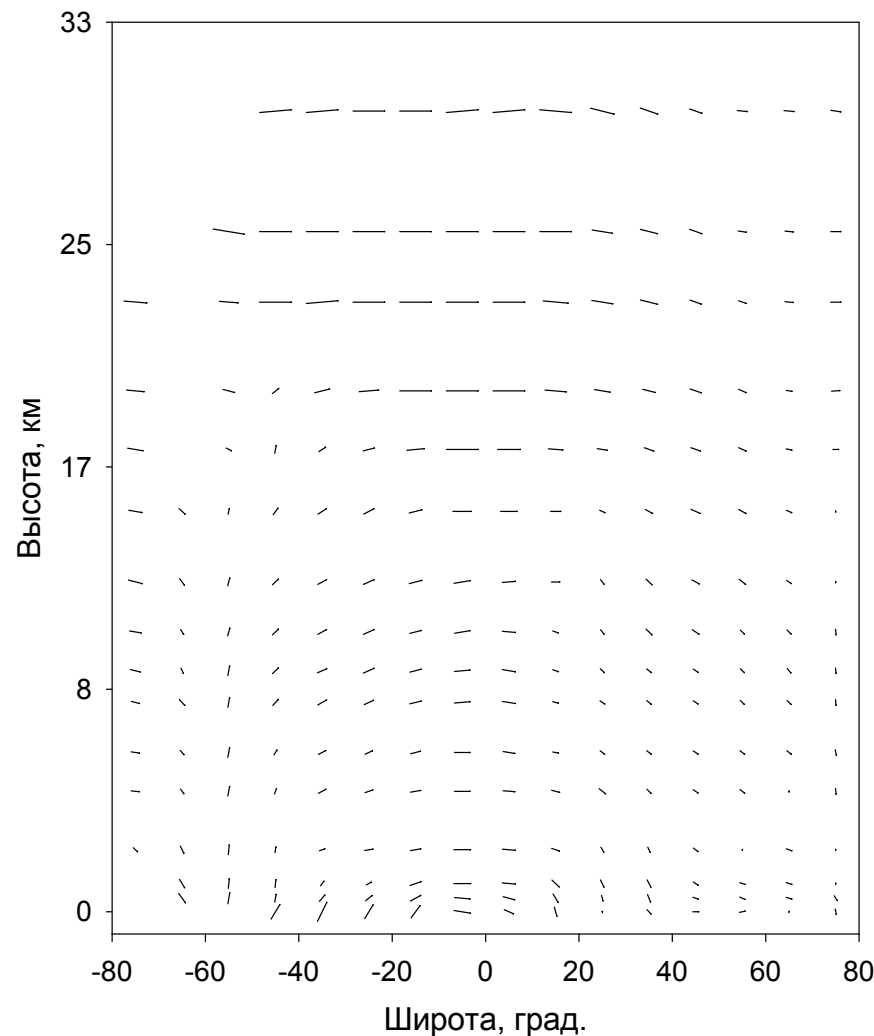
Здесь ориентация отрезков: горизонтально – большая зональная корреляция, вертикально – меридиональная.



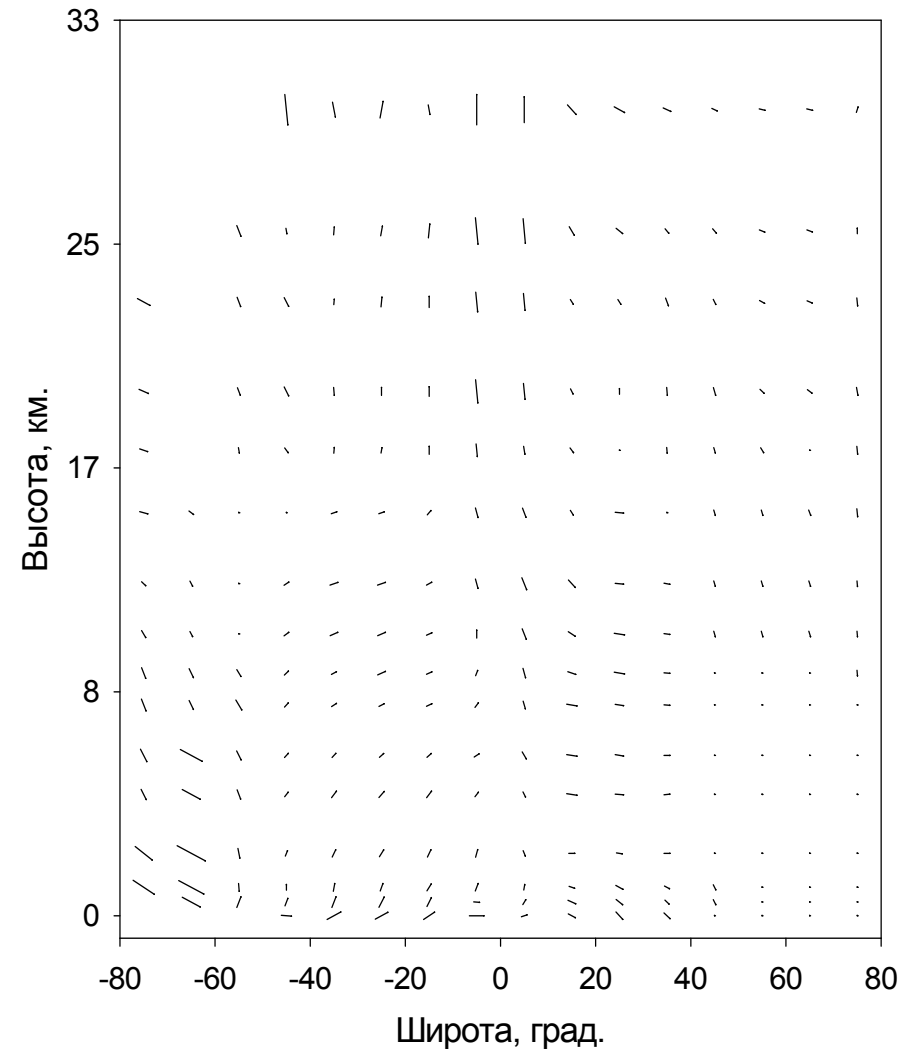
## Результаты: Анизотропия ветра (январь)

Здесь ориентация отрезков: горизонтально – большая зональная корреляция, вертикально – меридиональная. Нормальный компонент ветра сильнее коррелирует с зональной корреляцией.

Анизотропия L



Анизотропия, N



## КФ для отклонений наблюдений от прогноза

Для целей прогноза интерполируются не поля отклонений от среднемесячных значений, но от полей первого приближения, - полей прогноза на момент интерполяции (анализа) – как правило, с заблаговременностью 12 часов. Описанная технология оценок КФ пригодна и в этом случае. Отличия:

1. Амплитуда отклонений от прогноза в несколько раз меньше (прогноз намного лучше описывает реальность, чем среднемесячные поля). Поэтому относительный вклад ошибок наблюдений (матрица  $A_0$ ) больше. По той же причине КФ быстрее убывают с расстоянием.
2. Изменения в климате атмосферы Земли происходят медленнее, чем в прогностических моделях. Поэтому, накапливая большие архивы, неизбежно сталкиваемся с неоднородностью рядов – авторы улучшили прогностическую модель. Нужно иначе устраивать схему осреднений, чтобы использовать более короткие (годы, а не десятки лет) временные ряды.

У прогностических полей имеются систематические смещения, имеющие географическое распределение. В некоторых районах оно, например, по температуре на уровне 500гПа превосходит  $3,6^\circ$  - нужно учитывать.

## КФ и атмосферные фронты

Атмосферный фронт (контактный разрыв в газовой динамике – рвутся температура, плотность и касательный компонент ветра, а давление и нормальный компонент – непрерывны) имеет некоторую специфику в метеорологии. В классической газовой динамике он неустойчив. В метеорологии он слабо неустойчив – распадается, но медленно.

Причины: диссипативные процессы сглаживают поля, имеется вертикальная стратификация. Характерный наклон фронта к поверхности Земли – около  $1^\circ$ .

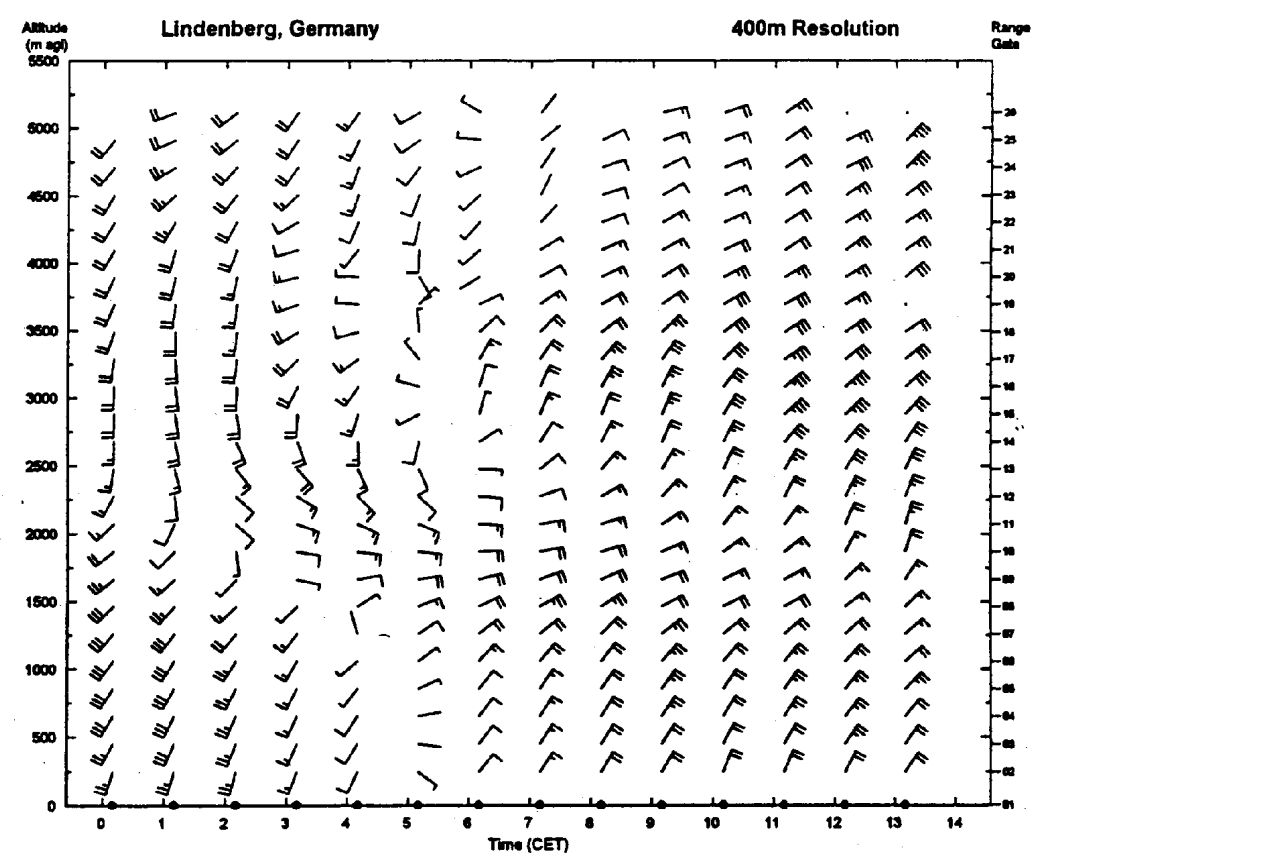
В начальных данных для задачи прогноза фронты прослеживаются пока неважно. Тем более, их трудно выявить в результатах прогноза.

Заглаживание фронтов – результат недостаточности наблюдений + сглаживание при интерполяции: используются данные с другой стороны фронта. Предложено использовать разные КФ для пары точек с одной стороны от фронта и для точек, разделенных фронтом.

Проведенные оценки показали действительное различие этих «раздельных» КФ. КФ «через фронт» убывает быстрее с расстоянием – внутри одной воздушной массы корреляции сильнее.

# Пример динамики реального фронта

Поле горизонтального ветра, при прохождении атмосферного фронта, измеренного профайлером (Линденберг, Германия). Высота до 5 км (25 уровней), период – 13 часов (ежечасно) Вначале ветер юго-западный, в конце – северо-восточный. Смена направления на разных уровнях происходит в разное время.



Видно, что речь идет не о плоском движении наклонной плоскости. Природа устроена сложнее!

## Лапласиан, гессиан и геометрия фронта

Предложение: использовать фронтальный параметр, зависящий от предполагаемого направления  $\vec{e}$ , ортогональному фронту

$$L_e(x, y) = \vec{e} \begin{pmatrix} \partial_{xx}^2 H(x, y) & \partial_{xy}^2 H(x, y) \\ \partial_{yx}^2 H(x, y) & \partial_{yy}^2 H(x, y) \end{pmatrix} \vec{e}^T$$

Здесь  $H$  – геопотенциал – высота барической поверхности.

Второй фронтальный параметр формируется по полю ветра

$$R_e(x, y) = \vec{e} \begin{pmatrix} \partial_y u(x, y) & \frac{1}{2}(\partial_y v(x, y) - \partial_x u(x, y)) \\ \frac{1}{2}(\partial_y v(x, y) - \partial_x u(x, y)) & -\partial_x v(x, y) \end{pmatrix} \vec{e}^T$$

Третий фронтальный параметр – модуль производной температуры по направлению  $\vec{e}$ :

$$G_e(x, y) = |(\nabla T(x, y), \vec{e})|.$$

Какую оптимальную функцию этих трех исходных фронтальных параметров следует выбрать в качестве финального фронтального параметра? **Какой критерий качества?**

В качестве входных полей используются поля глобального прогноза NCEP с шагом  $0,5 \times 0,5$  или мезомасштабная модель (покрывает Центральную и Восточную Европу до Урала) “COSMO” (Consortium for Small scale Modeling) с шагом 7 км.

Во всех случаях для аппроксимации производных используются схемы высокого порядка аппроксимации (специальная версия двумерного пр. Фурье для сферы и компактные разностные схемы для ограниченной территории).

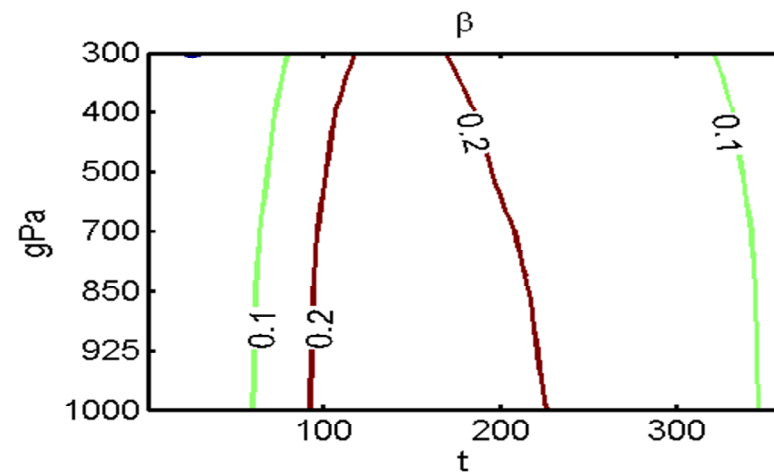
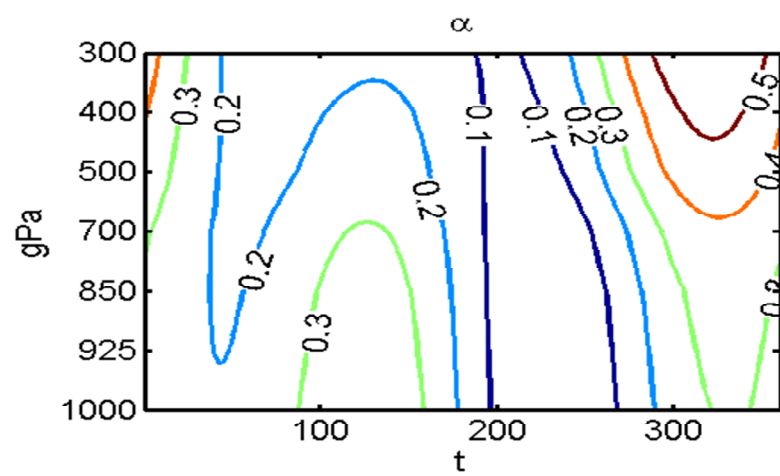
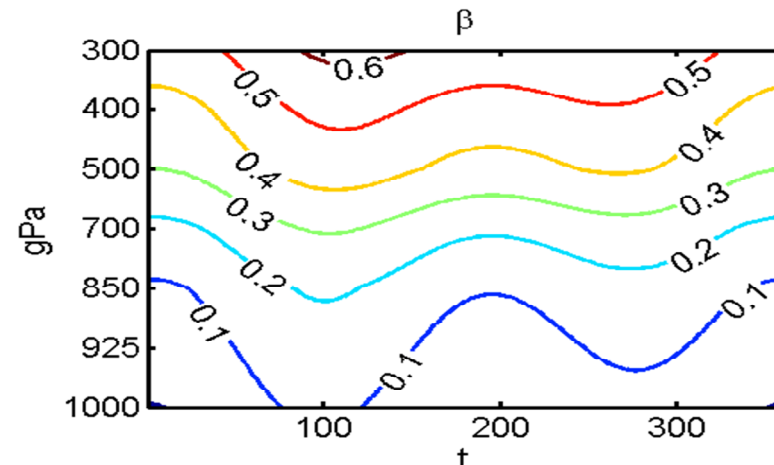
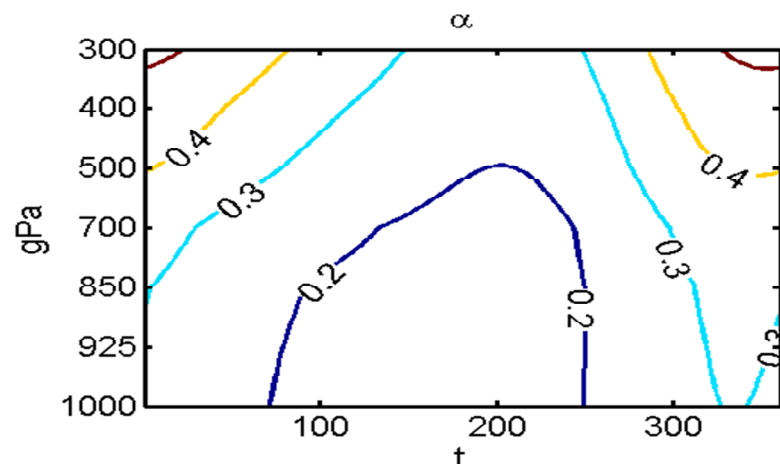
## Алгоритм проведения фронта

Пусть  $\alpha(t, p)$  и  $\beta(t, p)$  - константы, которые мы будем в дальнейшем менять.

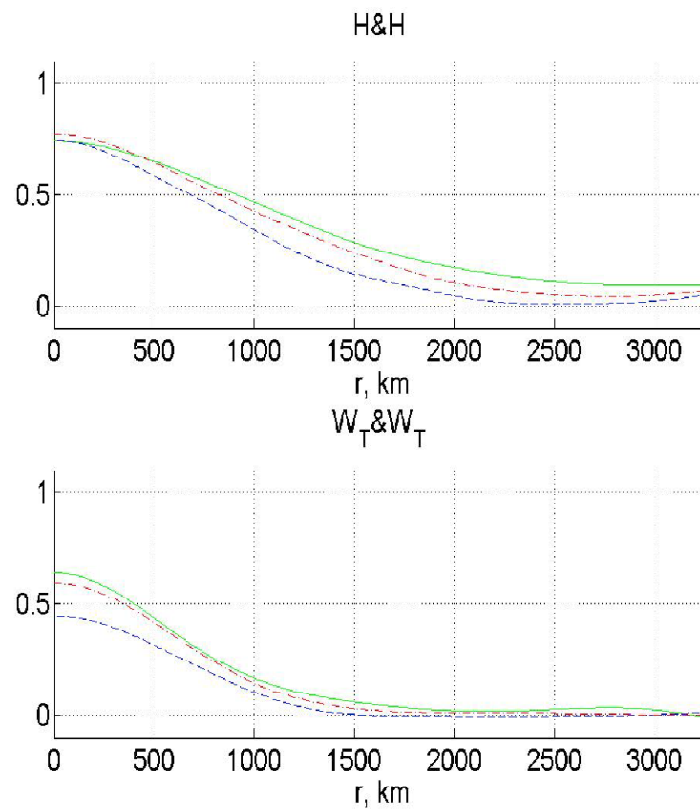
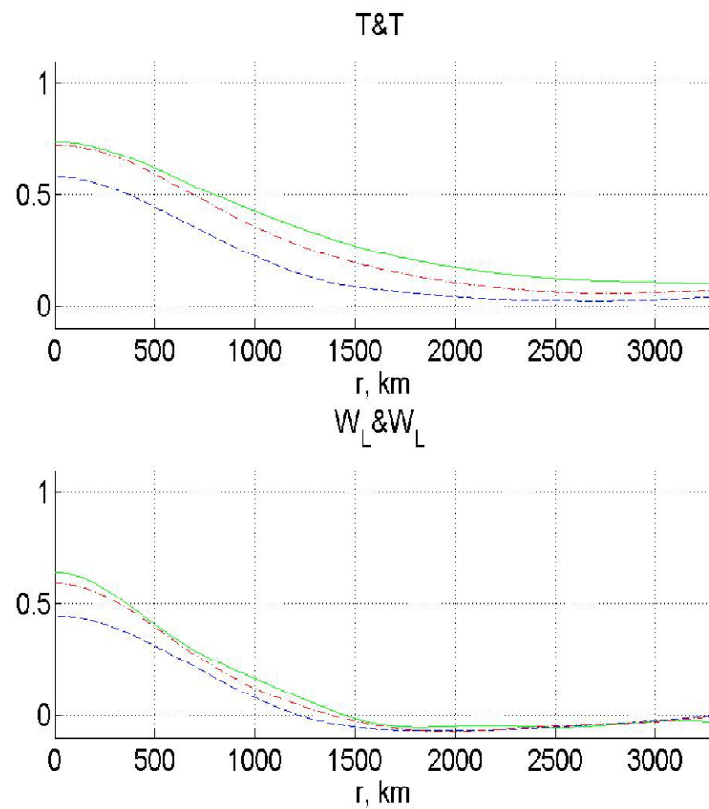
Финальный предиктор сформируем как

$$P_e = \alpha(t, p)\chi(2\bar{L}_e - 1) + \beta(t, p)\chi(2\bar{R}_e - 1) + (1 - \alpha(t, p) - \beta(t, p))\bar{G}_e$$

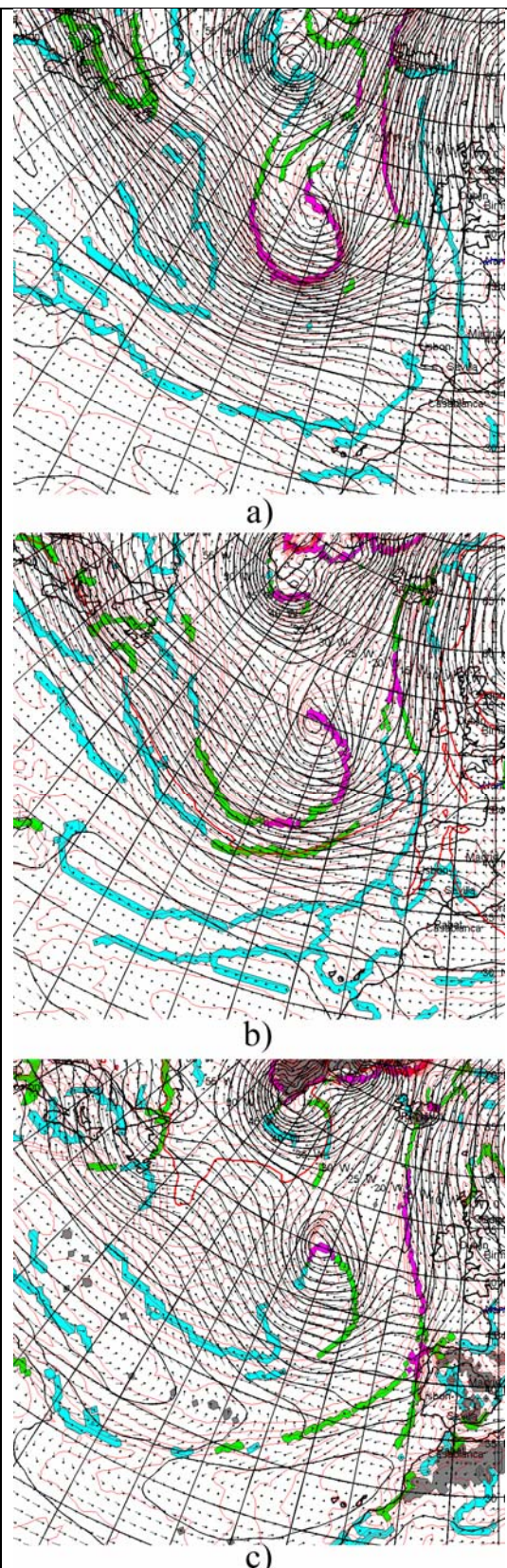
Проводим фронт в таком направлении  $\vec{e}^\perp$ , чтобы для ортогонального ему вектора  $\vec{e}$  достигался локальный максимум  $P_e$ , при условии, что этот локальный максимум больше некоторой константы. В противном случае фронт считаем слишком слабым.



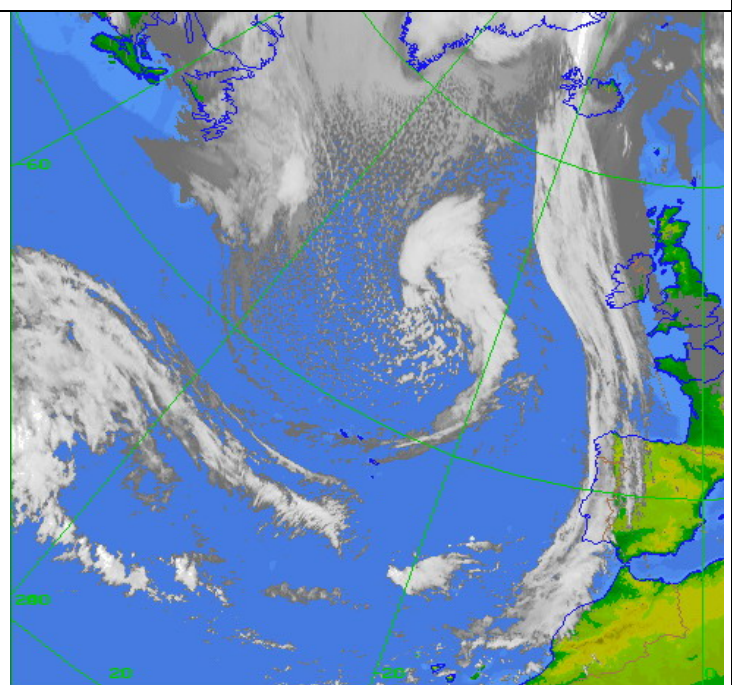
Изолинии оптимальных функций  $\alpha(t, \ln p)$ ,  $\beta(t, \ln p)$ , участвующие в формировании финального предиктора фронта  $P_f$  (первая строка) и для предиктора фронтов окклюзии  $P_o$  (вторая строка).



КФ для основных атмосферных полей геопотенциала, температуры и ветра на уровне 400 гПа для оптимально подобранный функции предварительных фронтальных параметров. Здесь зеленые линии отвечают парам точек в общей синоптической массе воздуха; синие линии – парам точек, разделенных линией фронта, красные линии – объединение обоих подмножеств пар. Статистика включает А) 349659 и В) 284177 пар точек (наблюдений) за период 2009-2011.



Фрагмент метеорологической карты с атмосферными фронтами (жирная красная линия –сильный фронт, зеленая – средний, синяя – слабый) для барических уровней a) 500, b) 700, и c) 950 гПа за срок 12h, 8 ноября 2011. Исходные поля метеоэлементов получены из прогностической модели NCEP. Исходные данные для 12-часового прогноза относятся к моменту 00h, 8 ноября 2011. Тонкие красные линии – изотермы, черные – изогипсы (изолинии геопотенциала). Отрезки показывают направление и величину ветра (масштаб приведен в левом нижнем углу картинок). Серая область на нижней картинке – Гренландия, где уровень 950гПа находится под землей



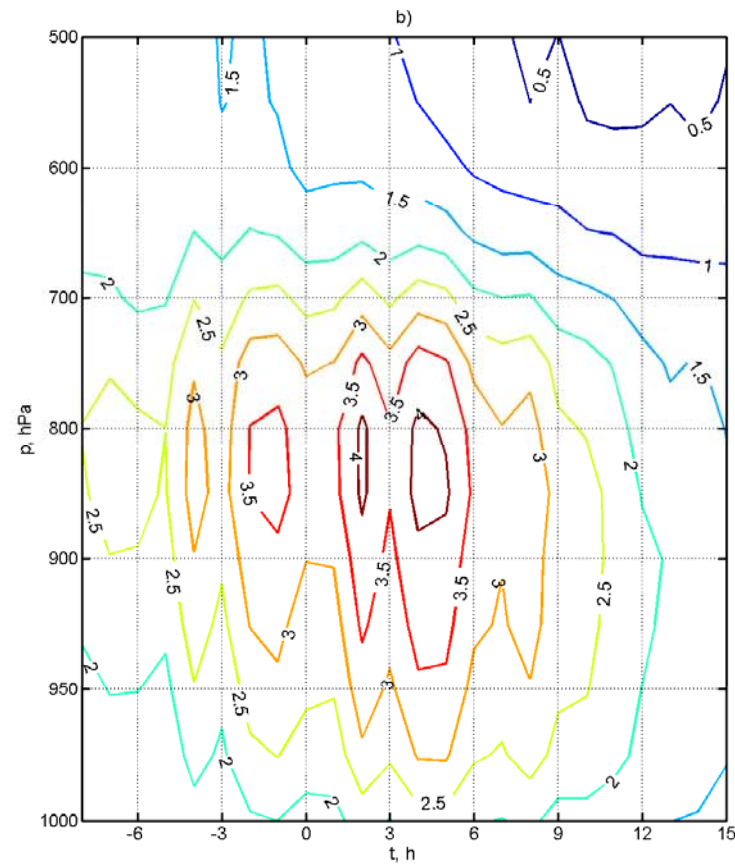
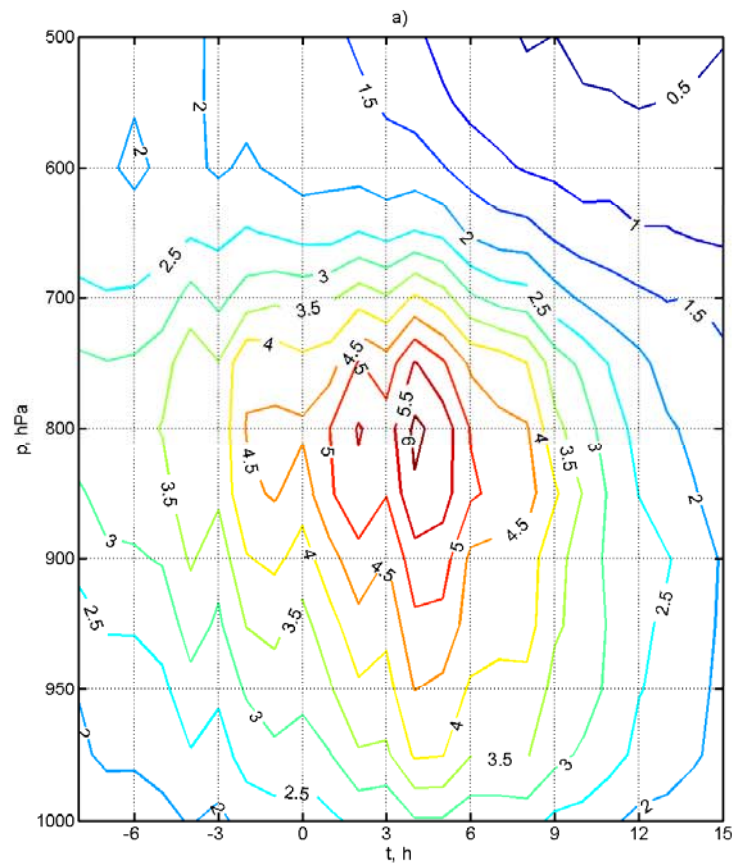
Фрагмент фотографии со спутника (METEOSAT-8; 12h. 8 ноября 2011)

# Атмосферные фронты и осадки

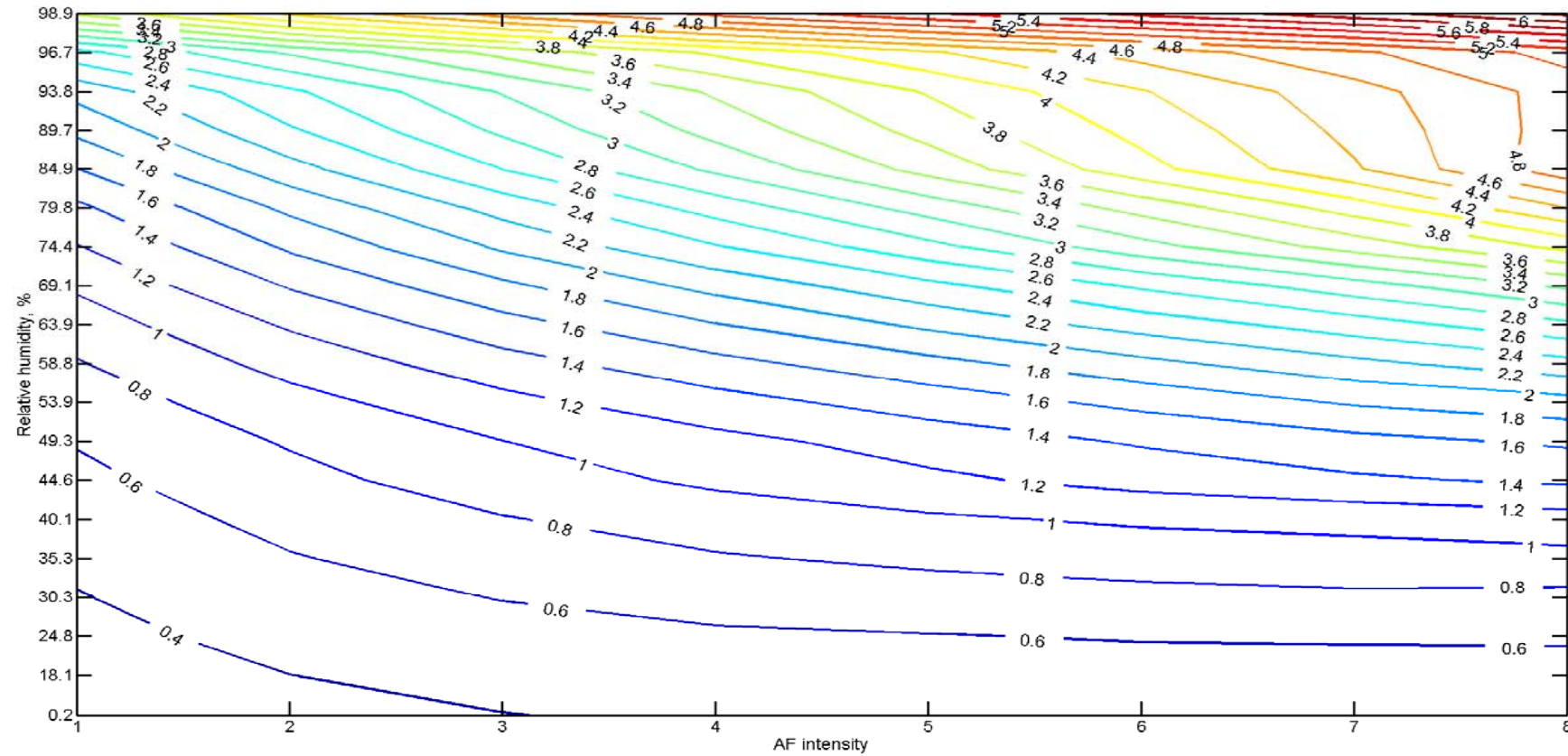
Прогноз атмосферных осадков значительно сложнее, чем прогноз температуры и даже ветра. Это важнейший для потребителя параметр, особенно, когда речь идет о сильных осадках. Известно, что прохождение фронта часто связано с выпадением осадков. Какова статистическая связь между этими двумя явлениями?

По осадкам мы используем глобальное (вне полярных областей) поле осадков с шагом  $0.045^\circ \times 0.045^\circ$ . Изготовитель данных - NOAA (National Oceanic and Atmospheric Administration). Опубликованы они на сервере [ftp://ftp.star.nesdis.noaa.gov/pub/smcd/emb/f\\_f/hydroest/world/world/](ftp://ftp.star.nesdis.noaa.gov/pub/smcd/emb/f_f/hydroest/world/world/).

Использовалось около 40.7 млн таких числовых данных об осадках за 1 час за марта 2010-2012гг, которые осреднялись на квадратики  $0,5^\circ \times 0,5^\circ$ . Средние величины по ансамблю: вероятность осадков более чем 0,5мм/час составляет 7,12%; средняя величина интенсивности осадков 0,144 мм/час.



А) Вероятность осадков; Б) интенсивность осадков в зависимости от времени прохождения фронта (нуль на оси абсцисс). Перед фронтом (за 2 и за 4 часа) на уровне 800гПа вероятность возрастает в 6 раз по сравнению со средней, а интенсивность в 4.



Интенсивность осадков за 6 часов (нормированная) после прохождения фронта в зависимости от интенсивности фронта (по горизонтали) и от относительной влажности (по вертикали). Интенсивность 1 здесь соответствует 0.866 mm/6h.

## Библиография

Н.Е.Кочин: Собрание сочинений, т.1, М., АН СССР, 1949 (Прямолинейный фронт, частичный анализ устойчивости).

В.А.Гордин: Как это посчитать? М., МЦНМО, 2005. (Компактные схемы, оценки корреляционных функций).

О.А.Алдухов, В.А.Гордин: Трехмерные корреляционные функции основных аэрологических величин. Изв. РАН., сер. ``Физика атмосферы и океана'', 2001, 37(1), стр.3-23. (Оценка корреляц. функций)

О.А.Алдухов, В.А.Гордин: Оценки анизотропии корреляционной структуры полей метеорологических величин по наблюдениям глобальной аэрологической сети. Изв. РАН., сер. ``Физика атмосферы и океана'', 2005, 41(3), стр.399-409 (Оценка корреляц. функций).

В.А.Гордин: Математика, компьютер, прогноз погоды и другие сценарии математической физики. ФИЗМАТЛИТ, 2010, 2013. (Компактные схемы, оценки корреляционных функций).

В.А.Гордин. Метеорологические наблюдения: распределенные в пространстве и времени. Часть 1 Квант, 2010. № 3. С. 2—8. Часть 2 № 4. С. 11—18.

О.А.Алдухов, Ф.Л.Быков, В.А.Гордин. Крупномасштабные трехмерные корреляционные функции для атмосферы Земли. Ярославский педагогический вестник, 2011. № 4. С. 36—43

Ф.Л.Быков, В.А.Гордин. Трехмерный объективный анализ структуры атмосферных фронтов. Известия РАН. Физика атмосферы и океана, 2012. № 48(2). С. 172—188

Ф.Л.Быков, В.А.Гордин. Атмосферные фронты и осадки. Тр.Гидрометцентра РФ, 2012, С.184-194.